

ΠΡΟΔΙΑΓΡΑΦΕΣ IDCO  
ΓΙΑ LATITUDE INTEGRATION

**LATITUDE™ NX1**  
**Σύστημα διαχείρισης ασθενή**

Outdated version. Do not use.  
Version überholt. Nicht verwenden.  
Version obsolète. Ne pas utiliser.  
Versión obsoleta. No utilizar.  
Versione obsoleta. Non utilizzare.  
Verouderde versie. Niet gebruiken.  
Föråldrad version. Använd ej.  
Παλιά έκδοση. Μην την χρησιμοποιείτε.  
Versão obsoleta. Não utilize.  
Forældet version. Må ikke anvendes.  
Zastaralá verze. Nepoužívat.  
Utdatert versjon. Skal ikke brukes.  
Zastaraná verzia. Nepoužívať.  
Elavult verzió. Ne használja!  
Wersja nieaktualna. Nie używać.

## ΠΙΝΑΚΑΣ ΠΕΡΙΕΧΟΜΕΝΩΝ

|   |           |
|---|-----------|
| <b>Επισκόπηση</b> .....   | <b>1</b>  |
| <b>Προδιαγραφές Μηνυμάτων LATITUDE IDCO</b> .....                       | <b>1</b>  |
| Δομή Τμήματος .....   | 1         |
| Δομή τμήματος MSH .....   | 1         |
| Δομή τμήματος PID .....   | 2         |
| Δομή τμήματος PV1 .....   | 2         |
| Δομή τμήματος PV2 .....   | 2         |
| Δομή τμήματος OBR .....   | 2         |
| Δομή τμήματος OBX .....   | 3         |
| Παράμετροι Εξόδου .....   | 3         |
| Ορισμοί Συναγερμών και Προειδοποιήσεων .....                            | 3         |
| Αναφορές .....  | 3         |
| Βασικοί Όροι .....  | 4         |
| <b>Μετατροπή Δεδομένων Εμφυτευμένης Συσκευής σε Μηνύματα IDCO</b> ..... | <b>9</b>  |
| Κατάσταση Μπαταρίας .....   | 9         |
| SET_BRADY_SENSOR_TYPE .....   | 9         |
| Χαρτογράφηση Επεισοδίου .....   | 10        |
| Χαρτογράφηση Μετρητών .....   | 11        |
| Χαρτογράφηση Διαμορφώσεων Απαγωγής .....                                | 13        |
| Περιορισμοί του Συστήματος .....  | 13        |
| Ορισμοί Συναγερμών και Προειδοποιήσεων .....                            | 14        |
| Αναφορές .....  | 14        |
| <b>Παράδειγμα Αρχείου IDCO</b> .....                                    | <b>15</b> |

Outdated version. Do not use.  
Version überholt. Nicht verwenden.  
Version obsolète. Ne pas utiliser.  
Versión obsoleta. No utilizar.  
Versione obsoleta. Non utilizzare.  
Verouderde versie. Niet gebruiken.  
Föråldrad version. Använd ej.  
Παλιά έκδοση. Μην την χρησιμοποιείτε.  
Versão obsoleta. Não utilize.  
Forældet version. Må ikke anvendes.  
Zastaralá verze. Nepoužívat.  
Utdatert versjon. Skal ikke brukes.  
Zastaraná verzia. Nepoužívať.  
Elavult verzió. Ne használja!  
Wersja nieaktualna. Nie używać.

Τα LATITUDE και RYTHMIQ είναι εμπορικά σήματα της Boston Scientific Corporation ή των συνδεδεμένων εταιρειών της.

## Επισκόπηση

Το σύστημα απομακρυσμένης παρακολούθησης ασθενών LATITUDE της Boston Scientific δημιουργεί μηνύματα εμφυτεύσιμης συσκευής παρακολούθησης καρδιακού ρυθμού (IDCO) σύμφωνα με τις προδιαγραφές και τους ορισμούς που δημοσιεύονται στο παρόν έγγραφο. Τα μηνύματα συμμορφώνονται με το προφίλ Integrating the Healthcare Enterprise (IHE) Patient Care Device (PCD) Technical Framework IDCO. Αυτά τα μηνύματα χρησιμοποιούνται για την αποστολή δεδομένων ασθενών στο σύστημα ηλεκτρονικών ιατρικών αρχείων (EMR) ή το σύστημα κλινικών πληροφοριών (CIS).

Το παρόν έγγραφο προορίζεται για πελάτες του LATITUDE της Boston Scientific (BSC) οι οποίοι (1) ενσωματώνουν μηνύματα IDCO σε ένα EMR και (2) χρησιμοποιούν συστήματα EMR ή CIS για την παρακολούθηση και τη διαχείριση δεδομένων ασθενών. Η πρώτη ενότητα του παρόντος εγγράφου («Προδιαγραφές Μηνυμάτων LATITUDE IDCO») προορίζεται πρωτίστως για το τεχνικό προσωπικό που συμμετέχει στην πραγματοποίηση της ενσωμάτωσης μηνυμάτων, ενώ η δεύτερη ενότητα προορίζεται κυρίως για τους ιατρούς ως περαιτέρω αποσαφήνιση της έκδοσης των δεδομένων της Boston Scientific που περιλαμβάνονται στο μήνυμα.

**ΣΗΜΕΙΩΣΗ:** Λαμβάνεται ως δεδομένο ότι οι αναγνώστες αυτής της ενότητας είναι εξοικειωμένοι με την ορολογία, τη σύνταξη προδιαγραφών, τους τύπους δεδομένων, τις δομές μηνυμάτων και τη σημασιολογία HL7 και IDCO για τα μηνύματα IDCO. Για περισσότερες πληροφορίες, ανατρέξτε στις εξής διευθύνσεις:

- [www.hl7.org](http://www.hl7.org) για μηνύματα HL7
- [www.ihe.net](http://www.ihe.net) για μηνύματα IDCO
- [http://ihe.net/Technical\\_Framework/index.cfm#pcd](http://ihe.net/Technical_Framework/index.cfm#pcd) για το PCD-09 Technical Framework (αποτελείται από τους Τόμους 1, 2 και 3)
- <http://standards.ieee.org/findstds/standard/11073-10103-2012.html> για την ονοματολογία IEEE IDCO

## Προδιαγραφές Μηνυμάτων LATITUDE IDCO

Το μήνυμα IDCO LATITUDE είναι ένα μήνυμα PCD-09 σύμφωνα με το IHE PCD Technical Framework Revision 2.0, August 16, 2012. Σύμφωνα με το τεχνικό πλαίσιο, το μήνυμα είναι ένα τυπικό αυτόματο μήνυμα HL7 v2.6 εντολών και παρατηρήσεων που περιέχει παρατηρήσεις που έχουν καταγραφεί από την εμφυτευμένη συσκευή και έχουν κωδικοποιηθεί χρησιμοποιώντας την ονοματολογία IEEE 11073-10103 IDC. Αυτό το διεθνές πρότυπο περιγράφει το καθολικό μοντέλο για τη διαλειτουργικότητα των ηλεκτρονικών ιατρικών δεδομένων.

Οι τιμές που βρίσκονται εντός εισαγωγικών στις στήλες τιμών στους παρακάτω πίνακες υποδεικνύουν τις κωδικοποιημένες τιμές που θα εμφανίζονται πάντα κατ' αυτόν τον τρόπο. Οι τιμές χωρίς εισαγωγικά υποδεικνύουν παράδειγμα ή περιγραφή της τιμής.

### Δομή Τμήματος

Όλα τα δεδομένα αποστέλλονται σύμφωνα με το PCD-09. Οι πληροφορίες που περιλαμβάνονται σε αυτήν την ενότητα προορίζονται για τον προσδιορισμό της εξόδου BSC για τα μηνύματα IDCO. Δεν είναι εξαντλητικές και δεν προορίζονται για τον περαιτέρω προσδιορισμό της ονοματολογίας IDCO.

### Δομή τμήματος MSH

Το τμήμα MSH περιέχει πληροφορίες σχετικά με τον αποστολέα και τον παραλήπτη του μηνύματος, τον τύπο του μηνύματος, την χρονική ένδειξη κ.λπ. Είναι το πρώτο τμήμα του μηνύματος IDCO.

| ΟΝΟΜΑ ΣΤΟΙΧΕΙΟΥ       | ΑΚΟΛ. | ΔΕΥΤ. ΑΚΟΛ. | ΤΙΜΗ                |
|-----------------------|-------|-------------|---------------------|
| Εφαρμογή αποστολής    | 3     |             | «LATITUDE»          |
| Εγκατάσταση αποστολής | 4     |             | «BOSTON SCIENTIFIC» |

| ΟΝΟΜΑ ΣΤΟΙΧΕΙΟΥ         | ΑΚΟΛ. | ΔΕΥΤ. ΑΚΟΛ. | ΤΙΜΗ                    |
|-------------------------|-------|-------------|-------------------------|
| Εγκατάσταση παραλαβής   | 6     |             | Όνομα Κλινικής LATITUDE |
| Κωδικοποίηση χαρακτήρων | 18    |             | «UNICODE UTF-8»         |

## Δομή τμήματος PID

Το τμήμα PID περιέχει στοιχεία εξακρίβωσης ταυτότητας των ασθενών όπως όνομα, αρ. ταυτότητας, Τ.Κ. κ.λπ. Αυτά τα στοιχεία χρησιμοποιούνται για την ταυτοποίηση των ασθενών.

| ΟΝΟΜΑ ΣΤΟΙΧΕΙΟΥ              | ΑΚΟΛ. | ΔΕΥΤ. ΑΚΟΛ. | ΤΙΜΗ  |
|------------------------------|-------|-------------|-------|
| Αναγνωριστικό χώρου ονομάτων | 3     | 4           | «BSX» |

## Δομή τμήματος PV1

Το τμήμα PV1 (Επίσκεψη ασθενούς) περιέχει πληροφορίες σχετικά με τον θεράποντα ιατρό του ασθενούς.

| ΟΝΟΜΑ ΣΤΟΙΧΕΙΟΥ    | ΑΚΟΛ. | ΔΕΥΤ. ΑΚΟΛ. | ΤΙΜΗ |
|--------------------|-------|-------------|------|
| Κατηγορία ασθενούς | 2     |             | «R»  |

## Δομή τμήματος PV2

Το τμήμα PV2 (Επίσκεψη ασθενούς 2) περιέχει πληροφορίες σχετικά με την ομάδα LATITUDE του ασθενούς.

| ΟΝΟΜΑ ΣΤΟΙΧΕΙΟΥ  | ΑΚΟΛ. | ΔΕΥΤ. ΑΚΟΛ. | ΤΙΜΗ   |
|--|-------|-------------|--|
| Όνομα μονάδας (ομάδα)                                    | 23    | 1           | Όνομα ομάδας LATITUDE<br>Παράδειγμα: Καρδιολογία |
| Αριθμός αναγνώρισης (κύρια ή δευτερεύουσα ομάδα ασθενών) |       | 3           | 1<br>Δείτε τη σημείωση 1                         |

## Σημειώσεις PV2

- Αυτή η τιμή θα είναι «1» εάν το αρχείο HL7 συσχετίζεται με την κύρια ομάδα LATITUDE ή θα είναι «2» εάν συσχετίζεται με τη δευτερεύουσα ομάδα LATITUDE.

## Δομή τμήματος OBR

Τα τμήματα OBR είναι οι κεφαλίδες ενότητων για τα μεμονωμένα τμήματα ανάκτησης πληροφοριών OBX. Περιέχουν δεδομένα όπως χρονικές ενδείξεις, αναγνωριστικό αναφοράς και ένα μοναδικό αναγνωριστικό που δημιουργείται από το σύστημα.

| ΟΝΟΜΑ ΣΤΟΙΧΕΙΟΥ                  | ΑΚΟΛ. | ΔΕΥΤ. ΑΚΟΛ. | ΤΙΜΗ ΠΑΡΑΔΕΙΓΜΑΤΟΣ                         |
|----------------------------------|-------|-------------|--|
| Καθολικό Αναγνωριστικό Υπηρεσίας | 4     |             |  |
| Αναγνωριστικό                    |       | 1           | 754053                                     |
| Κείμενο                          |       | 2           | Δείτε τη σημείωση 1                        |
| Ημερομηνία/ώρα παρατήρησης #     | 7     |             | 20060429080005+0000<br>Δείτε τη σημείωση 2 |
| Κατάσταση Αποτελέσματος          | 25    |             | «F»<br>Δείτε τη σημείωση 3                 |

## Σημειώσεις OBR

1. Το κείμενο του καθολικού αναγνωριστικού υπηρεσίας θα έχει τη μορφή MDC\_IDC\_ENUM\_SESS\_TYPE\_{τύπος συνεδρίας} (π.χ. MDC\_IDC\_ENUM\_SESS\_TYPE\_RemoteScheduled).
2. Η ημερομηνία/ώρα παρατήρησης θα είναι χρονική ένδειξη για τη στιγμή που πραγματοποιήθηκε η ανάκτηση δεδομένων από την εμφυτευμένη συσκευή. Η χρονική ένδειξη θα καταγράφεται στη ζώνη ώρας που έχει ρυθμιστεί για τον ασθενή.
3. Η κατάσταση αποτελέσματος θα είναι «F» (τελικά αποτελέσματα).

## Δομή τμήματος OBX

Τα τμήματα OBX περιέχουν δεδομένα που συγκεντρώνονται κατά τη διάρκεια της πιο πρόσφατης ανάκτησης δεδομένων από κάποια συσκευή.

| ΟΝΟΜΑ ΣΤΟΙΧΕΙΟΥ                     | ΑΚΟΛ. | ΔΕΥΤ. ΑΚΟΛ. | ΤΙΜΗ ΠΑΡΑΔΕΙΓΜΑΤΟΣ                         |
|-------------------------------------|-------|-------------|--|
| Κατάσταση αποτελέσματος παρατήρησης | 11    |             | «F»<br>Δείτε τη σημείωση 1                 |
| Ημερομηνία/ώρα παρατήρησης          | 14    |             | 20060317170000+0000<br>Δείτε τη σημείωση 2 |

## Σημειώσεις OBX

1. Η κατάσταση αποτελέσματος θα είναι «F» (τελικά αποτελέσματα).
2. Σε περίπτωση που η ημερομηνία μέτρησης διαφέρει από την ημερομηνία παρατήρησης στο OBR, θα συμπεριλαμβάνεται η ημερομηνία της μέτρησης.

## Παράμετροι Εξόδου

- Οι συμβολοσειρές θα αποστέλλονται στη γλώσσα που έχει διαμορφωθεί για την εκάστοτε κλινική στο LATITUDE.
- Οι αριθμητικές τιμές θα αποστέλλονται πάντα χρησιμοποιώντας την τελεία «.» ως υποστιγμή, δηλαδή ως υποδιαστολή δεκαδικού αριθμού.

## Ορισμοί Συναγερμών και Προειδοποιήσεων

- Εάν υπάρχει προειδοποίηση, θα προηγείται ένα NTE προειδοποίησης πριν από ένα ή περισσότερα NTE συναγερμού. Ένα NTE προειδοποίησης θα περιέχει μία ή περισσότερες ειδοποιήσεις σε ένα NTE.
- Εάν εκδηλωθεί συναγερμός, θα υπάρχει ένα NTE για κάθε συναγερμό.

## Αναφορές

### Αναφορά Αναπαράστασης ΗΓΜ

Εάν είναι διαθέσιμη στον όγκο δεδομένων που παραλαμβάνεται από την PG, η Αναφορά Αναπαράστασης ΗΓΜ επισυνάπτεται στο μήνυμα ως αρχείο PDF και συσχετίζεται με το αντίστοιχο επεισόδιο APMRT χρησιμοποιώντας το αναγνωριστικό ομάδας (OBX-4) για το επεισόδιο APMRT.

### Αναφορά Συνδυασμένης Παρακολούθησης

Στο μήνυμα επισυνάπτεται μια Αναφορά Συνδυασμένης Παρακολούθησης ως αρχείο PDF σε ξεχωριστό OBX.

## Βασικοί Όροι

Ο ακόλουθος πίνακας περιέχει τους όρους ονοματολογίας που ενδέχεται να περιέχονται σε ένα μήνυμα IDCO της BSC.

| <b>ΚΩΔΙΚΟΣ ΑΝΑΦΟΡΑΣ<br/>ΠΡΟΘΕΜΑ MDC_IDC_</b> | <b>ΕΜΦΑΝΙΖΟΜΕΝΟ ΟΝΟΜΑ</b>                             |
|--|---|
| <b>DEV</b>                                   | <b>Εμφυτεύσιμη Καρδιακή Συσκευή</b>                   |
| DEV_TYPE                                     | Τύπος Εμφυτεύσιμης Καρδιακής Συσκευής                 |
| DEV_MODEL                                    | Μοντέλο Εμφυτεύσιμης Καρδιακής Συσκευής               |
| DEV_SERIAL                                   | Σειριακός Αριθμός Εμφυτεύσιμης Καρδιακής Συσκευής     |
| DEV_MFG                                      | Κατασκευαστής Εμφυτεύσιμης Καρδιακής Συσκευής         |
| DEV_IMPLANT_DT                               | Ημερομηνία Εμφύτευσης Εμφυτεύσιμης Καρδιακής Συσκευής |
| <b>LEAD</b>                                  | <b>Χαρακτηριστικά Εμφυτεύσιμης Απαγωγής</b>           |
| LEAD_MODEL                                   | Μοντέλο Εμφυτεύσιμης Απαγωγής                         |
| LEAD_SERIAL                                  | Σειριακός Αριθμός Εμφυτεύσιμης Απαγωγής               |
| LEAD_MFG                                     | Κατασκευαστής Εμφυτεύσιμης Απαγωγής                   |
| LEAD_IMPLANT_DT                              | Ημερομηνία Εμφύτευσης Εμφυτεύσιμης Απαγωγής           |
| LEAD_POLARITY_TYPE                           | Τύπος Πολικότητας Εμφυτεύσιμης Απαγωγής               |
| LEAD_LOCATION                                | Θέση Εμφυτεύσιμης Απαγωγής                            |
| LEAD_LOCATION_DETAIL_1                       | Λεπτομέρεια 1 Θέσης Εμφυτεύσιμης Απαγωγής             |
| <b>SESS</b>                                  | <b>Συνεδρία Ανάκτησης Δεδομένων</b>                   |
| SESS_DTM                                     | Ημερομηνία/Ωρα Συνεδρίας Ανάκτησης Δεδομένων          |
| SESS_TYPE                                    | Τύπος Συνεδρίας Ανάκτησης Δεδομένων                   |
| SESS_CLINIC_NAME                             | Όνομα Κλινικής  |
| <b>MSMT</b>                                  | <b>Μετρήσεις</b>                                      |
| <b>MSMT_BATTERY</b>                          | <b>Μετρήσεις Μπαταρίας</b>                            |
| MSMT_BATTERY_DTM                             | Ημερομηνία/Ωρα Μετρήσεων Μπαταρίας                    |
| MSMT_BATTERY_STATUS                          | Κατάσταση Μπαταρίας                                   |
| MSMT_BATTERY_REMAINING_LONGEVITY             | Υπολειπόμενη Διάρκεια Ισχύος Μπαταρίας                |
| MSMT_BATTERY_REMAINING_PERCENTAGE            | Υπολειπόμενο Ποσοστό Ισχύος Μπαταρίας                 |
| <b>MSMT_CAP</b>                              | <b>Μετρήσεις Πυκνωτή</b>                              |
| MSMT_CAP_CHARGE_DTM                          | Ημερομηνία/Ωρα Τελευταίας Φόρτισης Πυκνωτή            |
| MSMT_CAP_CHARGE_TIME                         | Ωρα Φόρτισης Πυκνωτή                                  |
| MSMT_CAP_CHARGE_TYPE                         | Τύπος Φόρτισης Πυκνωτή                                |



| <b>ΚΩΔΙΚΟΣ ΑΝΑΦΟΡΑΣ<br/>ΠΡΟΘΕΜΑ MDC_IDC_</b>                | <b>ΕΜΦΑΝΙΖΟΜΕΝΟ ΟΝΟΜΑ</b>  |
|---|--|
| <b>MSMT_LEADCHNL_[CHAMBER]</b>                              | <b>Μετρήσεις Καναλιού Απαγωγής</b>                                       |
| MSMT_LEADCHNL_[CHAMBER]_DTM_[STRTEND]                       | Ημερομηνία και Ώρα Μετρήσεων Καναλιού Απαγωγής                           |
| MSMT_LEADCHNL_[CHAMBER]_LEAD_CHANNEL_STATUS                 | Κατάσταση Καναλιού Απαγωγής  |
| <b>MSMT_LEADCHNL_[CHAMBER]_SENSING</b>                      | <b>Μετρήσεις Αίσθησης Καναλιού Απαγωγής</b>                              |
| MSMT_LEADCHNL_[CHAMBER]_SENSING_INTR_AMPL_[MMM]             | Ενδογενής Έντασης Αίσθησης Καναλιού Απαγωγής                             |
| MSMT_LEADCHNL_[CHAMBER]_SENSING_POLARITY                    | Πολικότητα Αίσθησης Καναλιού Απαγωγής                                    |
| <b>MSMT_LEADCHNL_[CHAMBER]_PACING_THRESHOLD</b>             | <b>Μετρήσεις Ουδού Βηματοδότησης Καναλιού Απαγωγής</b>                   |
| MSMT_LEADCHNL_[CHAMBER]_PACING_THRESHOLD_AMPLITUDE          | Ένταση Ουδού Βηματοδότησης Καναλιού Απαγωγής                             |
| MSMT_LEADCHNL_[CHAMBER]_PACING_THRESHOLD_PULSEWIDTH         | Διάρκεια Παλμού Ουδού Βηματοδότησης Καναλιού Απαγωγής                    |
| MSMT_LEADCHNL_[CHAMBER]_PACING_THRESHOLD_MEASUREMENT_METHOD | Μέθοδος Μέτρησης Ουδού Βηματοδότησης Καναλιού Απαγωγής                   |
| MSMT_LEADCHNL_[CHAMBER]_PACING_THRESHOLD_POLARITY           | Πολικότητα Ουδού Βηματοδότησης Καναλιού Απαγωγής                         |
| <b>MSMT_LEADCHNL_[CHAMBER]_IMPEDANCE</b>                    | <b>Μετρήσεις Σύνθετης Αντίστασης Καναλιού Απαγωγής</b>                   |
| MSMT_LEADCHNL_[CHAMBER]_IMPEDANCE_VALUE                     | Τιμή Σύνθετης Αντίστασης Καναλιού Απαγωγής                               |
| MSMT_LEADCHNL_[CHAMBER]_IMPEDANCE_POLARITY                  | Πολικότητα Σύνθετης Αντίστασης Καναλιού Απαγωγής                         |
| <b>MSMT_LEADHVCHNL</b>                                      | <b>Μετρήσεις Καναλιού Υψηλής Τάσης Απαγωγής</b>                          |
| MSMT_LEADHVCHNL_DTM_[STRTEND]                               | Ημερομηνία/Ωρα Καναλιού Υψηλής Τάσης Απαγωγής                            |
| MSMT_LEADHVCHNL_IMPEDANCE                                   | Σύνθετη Αντίσταση Καναλιού Υψηλής Τάσης Απαγωγής                         |
| MSMT_LEADHVCHNL_MEASUREMENT_TYPE                            | Τύπος Μέτρησης Καναλιού Υψηλής Τάσης Απαγωγής                            |
| MSMT_LEADHVCHNL_STATUS                                      | Κατάσταση Καναλιού Υψηλής Τάσης Απαγωγής                                 |
| <b>SET</b>  | <b>Ρυθμίσεις</b>   |
| <b>SET_CRT</b>  | <b>Ρυθμίσεις CRT</b>   |
| SET_CRT_LVRV_DELAY  | Καθυστέρηση CRT LV-RV  |
| SET_CRT_PACED_CHAMBERS                                      | Βηματοδότηση κοιλιακών κοιλοτήτων κατά τη διάρκεια της βηματοδότησης CRT |

| <b>ΚΩΔΙΚΟΣ ΑΝΑΦΟΡΑΣ<br/>ΠΡΟΘΕΜΑ MDC_IDC_</b>                | <b>ΕΜΦΑΝΙΖΟΜΕΝΟ ΟΝΟΜΑ</b>  |
|---|--|
| <b>SET_LEADCHNL_[CHAMBER]</b>                               | <b>Ρυθμίσεις Καναλιού Απαγωγής</b>                               |
| <b>SET_LEADCHNL_[CHAMBER]_SENSING</b>                       | <b>Ρυθμίσεις Αίσθησης Καναλιού Απαγωγής</b>                      |
| SET_LEADCHNL_[CHAMBER]_SENSING_<br>SENSITIVITY              | Ρύθμιση Καναλιού Απαγωγής - Ευαισθησία<br>Αίσθησης               |
| SET_LEADCHNL_[CHAMBER]_SENSING_<br>POLARITY                 | Ρύθμιση Καναλιού Απαγωγής - Πολικότητα<br>Αίσθησης               |
| SET_LEADCHNL_[CHAMBER]_SENSING_<br>ANODE_LOCATION_[1..3]    | Ρύθμιση Καναλιού Απαγωγής - Θέση Ανόδου<br>Αίσθησης              |
| SET_LEADCHNL_[CHAMBER]_SENSING_<br>ANODE_ELECTRODE_[1..3]   | Ρύθμιση Καναλιού Απαγωγής - Ακροδέκτης<br>Ανόδου Αίσθησης        |
| SET_LEADCHNL_[CHAMBER]_SENSING_<br>CATHODE_LOCATION_[1..3]  | Ρύθμιση Καναλιού Απαγωγής - Θέση Καθόδου<br>Αίσθησης             |
| SET_LEADCHNL_[CHAMBER]_SENSING_<br>CATHODE_ELECTRODE_[1..3] | Ρύθμιση Καναλιού Απαγωγής - Ακροδέκτης<br>Καθόδου Αίσθησης       |
| SET_LEADCHNL_[CHAMBER]_SENSING_<br>ADAPTATION_MODE          | Ρύθμιση Καναλιού Απαγωγής - Λειτουργία<br>Προσαρμογής Αίσθησης   |
| <b>SET_LEADCHNL_[CHAMBER]_PACING</b>                        | <b>Ρυθμίσεις Βηματοδότησης Καναλιού<br/>Απαγωγής</b>             |
| SET_LEADCHNL_[CHAMBER]_PACING_<br>AMPLITUDE                 | Ρύθμιση Καναλιού Απαγωγής - Ένταση<br>Βηματοδότησης              |
| SET_LEADCHNL_[CHAMBER]_PACING_<br>PULSEWIDTH                | Ρύθμιση Καναλιού Απαγωγής - Διάρκεια Παλμού<br>Βηματοδότησης     |
| SET_LEADCHNL_[CHAMBER]_PACING_<br>POLARITY                  | Ρύθμιση Καναλιού Απαγωγής - Πολικότητα<br>Βηματοδότησης          |
| SET_LEADCHNL_[CHAMBER]_PACING_<br>ANODE_LOCATION_[1..3]     | Ρύθμιση Καναλιού Απαγωγής - Θέση Ανόδου<br>Βηματοδότησης         |
| SET_LEADCHNL_[CHAMBER]_PACING_<br>ANODE_ELECTRODE_[1..3]    | Ρύθμιση Καναλιού Απαγωγής - Ακροδέκτης<br>Ανόδου Βηματοδότησης   |
| SET_LEADCHNL_[CHAMBER]_PACING_<br>CATHODE_LOCATION_[1..3]   | Ρύθμιση Καναλιού Απαγωγής - Θέση Καθόδου<br>Βηματοδότησης        |
| SET_LEADCHNL_[CHAMBER]_PACING_<br>CATHODE_ELECTRODE_[1..3]  | Ρύθμιση Καναλιού Απαγωγής - Ακροδέκτης<br>Καθόδου Βηματοδότησης  |
| SET_LEADCHNL_[CHAMBER]_PACING_<br>CAPTURE_MODE              | Ρύθμιση Καναλιού Απαγωγής - Λειτουργία<br>Σύλληψης Βηματοδότησης |

| <b>ΚΩΔΙΚΟΣ ΑΝΑΦΟΡΑΣ<br/>ΠΡΟΘΕΜΑ MDC_IDC_</b> | <b>ΕΜΦΑΝΙΖΟΜΕΝΟ ΟΝΟΜΑ</b>  |
|--|--|
| <b>SET_BRADY</b>                             | <b>Ρυθμίσεις Βραδυκαρδίας</b>  |
| SET_BRADY_MODE                               | Λειτουργία Ρυθμίσεων Βραδυκαρδίας (Κωδικός NBG)                                      |
| SET_BRADY_LOWRATE                            | Ρυθμίσεις Βραδυκαρδίας - Κατώτερο Όριο Συχνότητας                                    |
| SET_BRADY_SENSOR_TYPE                        | Ρυθμίσεις Βραδυκαρδίας - Τύπος Αισθητήρα   |
| SET_BRADY_MAX_TRACKING_RATE                  | Ρυθμίσεις Βραδυκαρδίας - Μέγιστη Συχνότητα Ρυμούλκησης                               |
| SET_BRADY_MAX_SENSOR_RATE                    | Ρυθμίσεις Βραδυκαρδίας - Μέγιστη Συχνότητα Αισθητήρα                                 |
| SET_BRADY_SAV_DELAY_[HIGHLOW]                | Ρυθμίσεις Βραδυκαρδίας - Κολποκοιλιακή Καθυστέρηση επί Αίσθησης                      |
| SET_BRADY_PAV_DELAY_[HIGHLOW]                | Ρυθμίσεις Βραδυκαρδίας - Κολποκοιλιακή Καθυστέρηση επί Βηματοδότησης                 |
| SET_BRADY_AT_MODE_SWITCH_MODE                | Λειτουργία Ρυθμίσεων Βραδυκαρδίας - Εναλλαγή Τρόπου Λειτουργίας Κολπικής Ταχυκαρδίας |
| SET_BRADY_AT_MODE_SWITCH_RATE                | Ρυθμίσεις Βραδυκαρδίας - Ρυθμός Εναλλαγής Τρόπου Λειτουργίας Κολπικής Ταχυκαρδίας    |
| <b>SET_TACHYTHERAPY</b>                      | <b>Ρυθμίσεις Θεραπείας Ταχυκαρδίας</b>   |
| SET_TACHYTHERAPY_VSTAT                       | Ρύθμιση Θεραπείας Ταχυκαρδίας - Κοιλιακή κατάσταση                                   |
| <b>SET_ZONE</b>                              | <b>Ρυθμίσεις Ζώνης</b>   |
| SET_ZONE_TYPE                                | Ρύθμιση Ζώνης - Κατηγορία Τύπου  |
| SET_ZONE_VENDOR_TYPE                         | Ρύθμιση Ζώνης - Κατηγορία Τύπου Παρόχου  |
| SET_ZONE_STATUS                              | Κατάσταση Ρύθμισης Ζώνης   |
| SET_ZONE_DETECTION_INTERVAL                  | Ρύθμιση Ζώνης - Διάστημα Ανίχνευσης  |
| SET_ZONE_TYPE_ATP_[1..10]                    | Ρύθμιση Ζώνης - Τύπος Θεραπείας Απόκρισης σε Κολπική Ταχυκαρδία                      |
| SET_ZONE_NUM_ATP_SEQS_[1..10]                | Ρύθμιση Ζώνης - Αριθμός Αλληλουχιών Θεραπειών Απόκρισης σε Κολπική Ταχυκαρδία        |
| SET_ZONE_SHOCK_ENERGY_[1..10]                | Ρύθμιση Ζώνης - Ενέργεια Εκκένωσης   |
| SET_ZONE_NUM_SHOCKS_[1..10]                  | Ρύθμιση Ζώνης - Αριθμός Εκκενώσεων   |
| <b>STAT</b>                                  | <b>Στατιστικά Στοιχεία</b>   |
| STAT_DTM_[STRTEND]                           | Ημερομηνία/Ωρα Στατιστικών Στοιχείων   |
| <b>STAT_BRADY</b>                            | <b>Στατιστικά Στοιχεία Βραδυκαρδίας</b>  |
| STAT_BRADY_DTM_[STRTEND]                     | Ημερομηνία/Ωρας Στατιστικών Στοιχείων Βραδυκαρδίας                                   |
| STAT_BRADY_RA_PERCENT_PACED                  | Στατιστικά Στοιχεία Βραδυκαρδίας - Ποσοστό RA επί Βηματοδότησης                      |
| STAT_BRADY_RV_PERCENT_PACED                  | Στατιστικά Στοιχεία Βραδυκαρδίας - Ποσοστό RV επί Βηματοδότησης                      |

| ΚΩΔΙΚΟΣ ΑΝΑΦΟΡΑΣ<br>ΠΡΟΘΕΜΑ MDC_IDC_          | ΕΜΦΑΝΙΖΟΜΕΝΟ ΟΝΟΜΑ  |
|---|---|
| <b>STAT_AT</b>                                | <b>Στατιστικά Στοιχεία Atrial Tachy<br/>(Κολπική ταχυκαρδία)</b>          |
| STAT_AT_DTM_[STRTEEND]                        | Ημερομηνία/Ωρα Στατιστικών Στοιχείων<br>Atrial Tachy (Κολπική ταχυκαρδία) |
| STAT_AT_BURDEN_PERCENT                        | Ποσοστό AT/AF Burden Atrial Tachy<br>(Κολπική ταχυκαρδία)                 |
| <b>STAT_CRT</b>                               | <b>Στατιστικά Στοιχεία CRT</b>  |
| STAT_CRT_DTM_[STRTEEND]                       | Ημερομηνία/Ωρα Στατιστικών Στοιχείων CRT                                  |
| STAT_CRT_LV_PERCENT_PACED                     | Στατιστικά Στοιχεία CRT - Ποσοστό LV επί<br>Βηματοδότησης                 |
| <b>STAT_EPISODE</b>                           | <b>Στατιστικά Στοιχεία Επεισοδίου</b>                                     |
| STAT_EPISODE_TYPE                             | Στατιστικά Στοιχεία Επεισοδίου - Κατηγορία Τύπου                          |
| STAT_EPISODE_TYPE_INDUCED                     | Στατιστικά Στοιχεία Επεισοδίου - Επαγόμενος Τύπος                         |
| STAT_EPISODE_VENDOR_TYPE                      | Στατιστικά Στοιχεία Επεισοδίου - Κατηγορία Τύπου<br>Παρόχου               |
| STAT_EPISODE_RECENT_COUNT                     | Στατιστικά Στοιχεία Επεισοδίου - Πρόσφατη<br>Καταμέτρηση                  |
| STAT_EPISODE_RECENT_COUNT_DTM_<br>[STRTEEND]  | Στατιστικά Στοιχεία Επεισοδίου - Πρόσφατη<br>Ημερομηνία/Ωρα               |
| <b>EPISODE</b>                                | <b>Επεισόδιο</b>  |
| EPISODE_ID                                    | Αναγνωριστικό Επεισοδίου  |
| EPISODE_DTM                                   | Ημερομηνία/Ωρα Επεισοδίου   |
| EPISODE_TYPE                                  | Κατηγορία Τύπου Επεισοδίου  |
| EPISODE_TYPE_INDUCED                          | Τύπος Επεισοδίου - Σήμανση Επαγωγής                                       |
| EPISODE_VENDOR_TYPE                           | Κατηγορία Τύπου Παρόχου Επεισοδίου  |
| EPISODE_ATRIAL_INTERVAL_AT_DETECTION          | Διάστημα Ανίχνευσης Επεισοδίου - Κολπικό                                  |
| EPISODE_VENTRICULAR_INTERVAL_AT_<br>DETECTION | Διάστημα Ανίχνευσης Επεισοδίου - Κοιλιακό                                 |
| EPISODE_DETECTION_THERAPY_DETAILS             | Λεπτομέρειες Ανίχνευσης και Θεραπείας Επεισοδίου                          |
| EPISODE_DURATION                              | Διάρκεια Επεισοδίου   |

# Μετατροπή Δεδομένων Εμφυτευμένης Συσκευής σε Μηνύματα IDCO

## Κατάσταση Μπαταρίας

Οι αντιστοιχίσεις παραμέτρων μπαταρίας στις καταστάσεις μπαταρίας BSC έχουν ως ακολούθως:

| ΚΑΤΑΣΤΑΣΗ ΜΠΑΤΑΡΙΑΣ BSC | ΚΑΤΑΣΤΑΣΗ ΜΠΑΤΑΡΙΑΣ IDCO |
|-------------------------|--------------------------|
| BOL                     | BOS                      |
| OY                      | MOS                      |
| ERI                     | RRT                      |
| EOL                     | EOS                      |

Όταν μια εμφυτεύσιμη συσκευή μεταβεί σε περιορισμένη τηλεμετρία, η κατάσταση της μπαταρίας της μπορεί να είναι ERI ή EOL. Αμφότερες οι καταστάσεις μπαταρίας οδηγούν στην εμφάνιση του ίδιου μηνύματος: ENUM\_BATTERY\_STATUS\_RRT (ERI) στο MSMT\_BATTERY\_STATUS με τη χρονική ένδειξη ERI στο MSMT\_BATTERY\_DTM. Αυτή η κατάσταση ισχύει μόνο σε περιπτώσεις περιορισμένης τηλεμετρίας.

## SET\_BRADY\_SENSOR\_TYPE

Ο τύπος αισθητήρα θα αποστέλλεται όπως εμφανίζεται στον παρακάτω πίνακα.

| ΑΠΟΣΤΕΛΛΟΜΕΝΗ ΤΙΜΗ ΓΙΑ ΤΗ ΜΕΤΑΒΛΗΤΗ SET_BRADY_SENSOR_TYPE ΒΑΣΕΙ ΤΗΣ ΡΥΘΜΙΣΗΣ ΤΗΣ ΕΜΦΥΤΕΥΜΕΝΗΣ ΣΥΣΚΕΥΗΣ | ΡΥΘΜΙΣΗ ΕΜΦΥΤΕΥΜΕΝΗΣ ΣΥΣΚΕΥΗΣ |
|--|-------------------------------|
| «Accelerometer» (Επιταχυνσιόμετρο)   | Μόνο επιταχυνσιόμετρο         |
| «Minute Ventilation» (Αερισμός ανά Λεπτό)  | Μόνο MV                       |
| «Accelerometer + MV» (Επιταχυνσιόμετρο + MV)   | Επιταχυνσιόμετρο<br>ό και MV  |

Οι παραπάνω τιμές θα αποστέλλονται μόνο εάν η συχνότητα μπορεί να καθοδηγηθεί από τον αισθητήρα, δηλαδή δεν αποστέλλονται εάν ο αισθητήρας είναι σε κατάσταση μόνο παρακολούθησης.

Οι παραπάνω τιμές θα αποστέλλονται εάν η συχνότητα μπορεί να καθοδηγηθεί σε τρόπο φυσιολογικής βραδυκαρδίας ή σε απόκριση σε κοιλιακή ταχυκαρδία, δηλαδή η τιμή δεν αντικατοπτρίζει τον τρόπο φυσιολογικής βραδυκαρδίας.

Λάβετε υπόψη ότι το μήνυμα «ATR Only» (Μόνο απόκριση σε κοιλιακή ταχυκαρδία) μπορεί να εμφανιστεί σε αναφορές όταν η λειτουργία απόκρισης σε κοιλιακή ταχυκαρδία βρίσκεται σε συχνοπροσαρμοζόμενο τρόπο λειτουργίας και ο τρόπος φυσιολογικής βραδυκαρδίας δεν είναι συχνοπροσαρμοζόμενος. Σε αυτήν την περίπτωση, το κείμενο (π.χ. «Accelerometer» (Επιταχυνσιόμετρο)) θα εξακολουθεί να αποστέλλεται για τον τρόπο λειτουργίας απόκρισης σε κοιλιακή ταχυκαρδία. Ο χρήστης μπορεί να ελέγξει τον τρόπο βραδυκαρδίας και τον τρόπο λειτουργίας απόκρισης σε κοιλιακή ταχυκαρδία και να προσδιορίσει ότι η απόκριση της συχνότητας αφορά μόνο την απόκριση σε κοιλιακή ταχυκαρδία.

## Χαρτογράφηση Επεισοδίου

Τα επεισόδια, οι μετρητές κ.λπ. θα αποστέλλονται σε συναφείς πληροφορίες που περιέχονται στην ανάκτηση δεδομένων. Οι ίδιες πληροφορίες θα στέλλονται ως αρχικό πακέτο και ως επακόλουθη εκ νέου αποστολή, ακόμα και αν στο μεσοδιάστημα πραγματοποιούνται ανακτήσεις δεδομένων. Λάβετε υπόψη ότι η έξοδος EMR δεν θα συμφωνεί πάντα με την αναφορά Quick Notes, επειδή το Quick Notes εμφανίζει επεισόδια, συναγερούς και μετρητές από τον τελευταίο μηδενισμό. Τα επεισόδια αναπαριστώνται από έναν συνδυασμό κανονιστικών τύπων και τύπων για συγκεκριμένους παρόχους. Η αναπαράσταση ορισμένων τύπων επεισοδίων της Boston Scientific δεν μπορεί να γίνει με μοναδικό τρόπο με την τρέχουσα ονοματολογία IDCO.

| ΑΝΑΓΝΩΡΙΣΤΙΚΟ ΕΠΕΙΣΟΔΙΟΥ BSC | ΤΥΠΟΣ ΕΠΕΙΣΟΔΙΟΥ BSC                             | ΚΑΝΟΝΙΣΤΙΚΟΣ ΤΥΠΟΣ ΕΠΕΙΣΟΔΙΟΥ IDCO   | ΤΥΠΟΣ ΕΠΕΙΣΟΔΙΟΥ IDCO ΣΥΓΚΕΚΡΙΜΕΝΟΥ ΠΑΡΟΧΟΥ |
|------------------------------|--|--|---|
| V-x                          | VF (Κοιλιακή μαρμαρυγή)                          | VF   | BSX-Zone_VF                                 |
| V-x                          | VT (Κοιλιακή ταχυκαρδία)                         | VT   | BSX-Epis_VT                                 |
| V-x                          | VT (V>A)<br>(Κοιλιακή ταχυκαρδία (V>A))          | VT   | BSX-Epis_VT                                 |
| V-x                          | Tachy<br>(Ταχυκαρδία)                            | Για συσκευές SSI, εάν η απαγωγή είναι στα:<br><ul style="list-style-type: none"> <li>• V – VT</li> <li>• A – AT/AF</li> <li>• Μη καθορισμένο – VT</li> </ul> | Ηρεμία                                      |
| V-x                          | NonSust<br>(Μη εμμένον)                          | Για συσκευές SSI, εάν η απαγωγή είναι στα:<br><ul style="list-style-type: none"> <li>• V – VT</li> <li>• A – AT/AF</li> <li>• Μη καθορισμένο – VT</li> </ul> | εάν A, ηρεμία<br>άλλο<br>BSX-Epis_NSVT      |
| V-x                          | SVT<br>(Υπερκοιλιακή ταχυκαρδία (V≤A))           | SVT  | BSX-Zone_SVT                                |
| V-x                          | VT-1   | VT   | BSX-Epis_VT-1                               |
| RMS-x                        | RMS<br>(Αντιστροφή αλλαγής τρόπου λειτουργίας)   | Άλλος  | BSX-Epis_RMS                                |
| RYTHMIQ-x                    | RYTHMIQ  | Άλλος  | BSX-Epis_RMS                                |
| ATR-x                        | ATR (Απόκριση σε κολπική ταχυκαρδία)             | ATAF   | BSX-Epis_ATR                                |
| PMT-x                        | PMT<br>(Ταχυκαρδία σχετιζόμενη με το βηματοδότη) | Άλλος  | BSX-Epis_PMT                                |
| SBR-x                        | SBR<br>(Ανταπόκριση σε αιφνίδια βραδυκαρδία)     | Άλλος  | Κανένας                                     |

| ΑΝΑΓΝΩΡΙΣΤΙΚΟ ΕΠΕΙΣΟΔΙΟΥ BSC | ΤΥΠΟΣ ΕΠΕΙΣΟΔΙΟΥ BSC  | ΚΑΝΟΝΙΣΤΙΚΟΣ ΤΥΠΟΣ ΕΠΕΙΣΟΔΙΟΥ IDCO | ΤΥΠΟΣ ΕΠΕΙΣΟΔΙΟΥ IDCO ΣΥΓΚΕΚΡΙΜΕΝΟΥ ΠΑΡΟΧΟΥ |
|------------------------------|---|------------------------------------|---|
| PTM-x                        | PTM (Επεισόδιο του οποίου η έναρξη παρακολούθησης έγινε από τον ασθενή) | Ενεργοποίηση από τον ασθενή        | BSX-Epis_PTМ                                |
| V-x                          | Cmd V (Κατ' εντολή κοιλιακή εκκένωση)                                   | Άλλος                              | Κανένας                                     |
| V-x                          | NonSustV (Μη εμμένουσα κοιλιακή)  | VT                                 | BSX-Epis_NSVT                               |
| APMRT-x                      | APM RT (Προηγμένη διαχείριση ασθενών σε πραγματικό χρόνο)               | Περιοδικό ΗΓΜ                      | BSX-Epis_APMRT                              |
| RVAT-x                       | RV Auto (Αυτόματος ουδός δεξιάς κοιλίας)                                | Άλλος                              | Κανένας                                     |
| RAAT-x                       | RV Auto (Αυτόματος ουδός δεξιού κόλπου)                                 | Άλλος                              | Κανένας                                     |
| LVAT-x                       | LV Auto (Αυτόματος ουδός αριστερής κοιλίας)                             | Άλλος                              | Κανένας                                     |
| MRI-x                        | MRI (Μαγνητική τομογραφία)  | Άλλος                              | Κανένας                                     |

## Χαρτογράφηση Μετρητών

Η άθροιση ορισμένων μετρητών πραγματοποιείται πριν από την αποστολή του μηνύματος. Αυτό συμβαίνει επειδή προς το παρόν δεν είναι δυνατή η αναπαράσταση όλων των μετρητών της Boston Scientific στην ονοματολογία IDCO: Οι τιμές μετρητών που αποστέλλονται θα είναι από τον τελευταίο μηδενισμό και εφεξής.

| ΜΕΤΡΗΤΗΣ ΕΠΕΙΣΟΔΙΩΝ BSC              | ΣΤΑΤΙΣΤΙΚΑ ΣΤΟΙΧΕΙΑ IDCO - ΚΑΝΟΝΙΣΤΙΚΟΣ ΤΥΠΟΣ ΕΠΕΙΣΟΔΙΟΥ | ΣΤΑΤΙΣΤΙΚΑ ΣΤΟΙΧΕΙΑ IDCO - ΤΥΠΟΣ ΕΠΕΙΣΟΔΙΟΥ ΣΥΓΚΕΚΡΙΜΕΝΟΥ ΠΑΡΟΧΟΥ |
|--------------------------------------|--|---|
| VT (V>A) (Κοιλιακή ταχυκαρδία (V>A)) | VT   | BSX-Epis_VT   |
| Tachy (Ταχυκαρδία)                   | VT   | BSX-Epis_VT   |
| NonSust (Μη εμμένον)                 | VT   | BSX-Epis_NSVT   |

| <b>ΜΕΤΡΗΤΗΣ ΕΠΕΙΣΟΔΙΩΝ BSC</b>  | <b>ΣΤΑΤΙΣΤΙΚΑ ΣΤΟΙΧΕΙΑ IDCO - ΚΑΝΟΝΙΣΤΙΚΟΣ ΤΥΠΟΣ ΕΠΕΙΣΟΔΙΟΥ</b> | <b>ΣΤΑΤΙΣΤΙΚΑ ΣΤΟΙΧΕΙΑ IDCO - ΤΥΠΟΣ ΕΠΕΙΣΟΔΙΟΥ ΣΥΓΚΕΚΡΙΜΕΝΟΥ ΠΑΡΟΧΟΥ</b> |
|---|---|--|
| NonSustV (Μη εμμένουσα κοιλιακή)  | VT  | BSX-Epis_NSVT  |
| SVT (Υπερκοιλιακή ταχυκαρδία) (V≤A)                                     | SVT   | BSX-Epis_SVT   |
| ATR (Απόκριση σε κολπική ταχυκαρδία)                                    | AT/AF   | BSX-Epis_ATR   |
| MRI (Μαγνητική τομογραφία)  | Άλλος   | Κανένας  |
| VF (Κοιλιακή μαρμαρυγή)   | VF  | BSX-Epis_VF  |
| VT (Κοιλιακή ταχυκαρδία)  | VT  | BSX-Epis_VT  |
| VT-1  | VT  | BSX-Epis_VT-1  |
| Cmd (Επεισόδιο κατ' εντολή)   | Άλλος   | Κανένας  |
| No Therapy Programmed (Απουσία προγραμματισμένης θεραπείας)             | Παρακολούθηση   | Κανένας  |
| Other Untreated (Άλλα επεισόδια απουσία θεραπείας)                      | Άλλος   | Κανένας  |
| RMS (Αντιστροφή αλλαγής τρόπου λειτουργίας)                             | Άλλος   | BSX-Epis_RMS   |
| ΡΥΘΜΙΩ  | Άλλος   | BSX-Epis_RMS   |
| PMT (Ταχυκαρδία σχετιζόμενη με το βηματοδότη)                           | Άλλος   | BSX-Epis_PMT   |
| SBR (Ανταπόκριση σε αιφνίδια βραδυκαρδία)                               | Άλλος   | Κανένας  |
| PTM (Επεισόδιο του οποίου η έναρξη παρακολούθησης έγινε από τον ασθενή) | Ενεργοποίηση από τον ασθενή                                     | BSX-Epis_PTM   |
| APM RT (Προηγμένη διαχείριση ασθενών σε πραγματικό χρόνο)               | Περιοδικό ΗΓΜ   | BSX-Epis_APMRT   |
| RV Auto (Αυτόματος ουδός δεξιού κόλπου)                                 | Άλλος   | Κανένας  |
| RV Auto (Αυτόματος ουδός δεξιάς κοιλίας)                                | Άλλος   | Κανένας  |
| LV Auto (Αυτόματος ουδός αριστερής κοιλίας)                             | Άλλος   | Κανένας  |



## Χαρτογράφηση Διαμορφώσεων Απαγωγής

Ο παρακάτω πίνακας δείχνει πώς τα IDCO and BSC ορίζουν τις απαγωγές πολλαπλών ηλεκτροδίων. Τα περιεχόμενα αυτού του πίνακα δεν είναι εξαντλητικά, απλώς περιλαμβάνει μόνο απαριθμήσεις στοιχείων που ενδέχεται να μην είναι προφανή.

Οι ορισμοί που χρησιμοποιεί η BSC είναι σχεδιασμένα για να συνάδουν με τον Προγραμματιστή/Καταγραφέα/Ελεγκτή (ΠΚΕ) και τον ιστότοπο LATITUDE.

| ΟΝΟΜΑ ΗΛΕΚΤΡΟΔΙΟΥ BSC        | ΘΕΣΗ ΗΛΕΚΤΡΟΔΙΟΥ IDCO | ΟΝΟΜΑ ΗΛΕΚΤΡΟΔΙΟΥ IDCO |
|------------------------------|-----------------------|------------------------|
| Περίβλημα                    | Άλλη                  | Περίβλημα              |
| Άκρο αριστερής κοιλίας1      | LV                    | Άκρο                   |
| Δακτύλιος αριστερής κοιλίας2 | LV                    | Δακτύλιος1             |
| Δακτύλιος αριστερής κοιλίας3 | LV                    | Δακτύλιος2             |
| Δακτύλιος αριστερής κοιλίας4 | LV                    | Δακτύλιος3             |

Προς το παρόν, το MDC\_IDCO\_ENUM\_ELECTRODE\_LOCATION (θέση ανόδου/καθόδου βηματοδότησης/αίσθησης) δεν περιλαμβάνει απαρίθμηση για το θύλακα (π.χ. περίβλημα). Η θέση θα αποστέλλεται ως «άλλη» και το ηλεκτρόδιο ως «περίβλημα».

Η κατάσταση «έλεγχος απαγωγής» υποδεικνύει κάποιο πιθανό πρόβλημα με την απαγωγή. Ωστόσο, η απουσία της κατάστασης «έλεγχος απαγωγής» δεν υποδεικνύει ότι η απαγωγή λειτουργεί κανονικά. Θα αποστέλλεται η κατάσταση «έλεγχος απαγωγής» εάν υπάρχει κάποια από τις ακόλουθες ενδείξεις κατάστασης:

- Αλλαγή ασφαλείας απαγωγών
- Σύνθετη αντίσταση εκτός εύρους
- Ένταση εκτός εύρους
- Χαμηλή σύνθετη αντίσταση εκκένωσης
- Υψηλή σύνθετη αντίσταση εκκένωσης
- Υψηλή τάση κατά τη φόρτιση

Για το MSMT\_LEADCHNL\_[CHAMBER] (δηλαδή μετρήσεις καναλιού όπως ενδογενής ένταση, σύνθετη αντίσταση απαγωγής, ουδός βηματοδότησης), μόνο ένα εύρος χρονικών ενδείξεων είναι δυνατό για όλες τις μετρήσεις (δηλαδή όχι ένα εύρος ανά μέτρηση) στην τρέχουσα ονοματολογία IDCO. Εάν οι ώρες μέτρησης διαφέρουν, θα αποστέλλεται ένα εύρος χρονικών ενδείξεων (δηλαδή MIN, MAX) που θα συμπεριλαμβάνει την ώρα όλων των μετρήσεων. Επιπλέον, οι τιμές που θα αποστέλλονται θα είναι τιμή IDCO MEAN σύμφωνα με την ονοματολογία IDCO. Ωστόσο, οι τιμές αποτελούν μεμονωμένες μετρήσεις και δεν είναι μέσες τιμές εντός του εύρους χρονικών ενδείξεων.

### Περιορισμοί του Συστήματος

- Οι έξοδοι που αφορούν συγκεκριμένα την ταχυκαρδία και τις κοιλότητες είναι όσο το δυνατόν πιο ακριβείς. Ωστόσο, σε ορισμένες περιπτώσεις, η βαρύτητα της αποστολής των δεδομένων και το γεγονός ότι το IDCO δεν μπορεί να αναπαραστήσει ορισμένες παραμέτρους εγγυάται την αποστολή των δεδομένων ανεξαρτήτως συνθηκών. Για παράδειγμα, οι πληροφορίες της ζώνης VT αποστέλλονται όπως εάν οι συσκευές βραδυκαρδίας είχαν ζώνη VT.
- Για συσκευές που δεν διαθέτουν αυτόματο ουδό βηματοδότησης (λειτουργία αυτόματου ουδού), θα αποστέλλεται η τελευταία μέτρηση ουδού στο ιατρείο.

- Η σωστή αναφορά των δεδομένων της εμφυτευμένης συσκευής και των ειδοποιήσεων συναγερμού από το σύστημα LATITUDE NXT εξαρτάται από τον ακριβή προγραμματισμό του ρολογιού της εμφυτευμένης συσκευής με έναν Προγραμματιστή/Καταγραφέα/Ελεγκτή (ΠΚΕ). Η σωστή αναφορά ενδέχεται να συνεχίσει να επηρεάζεται για κάποιο χρονικό διάστημα μετά τον σωστό προγραμματισμό του ρολογιού της εμφυτευμένης συσκευής, ανάλογα με την ποσότητα των δεδομένων που λαμβάνονται με μη ακριβείς πληροφορίες χρόνου και τη χρονική διαφορά του σφάλματος στο ρολόι της εμφυτευμένης συσκευής.
- Οι συμβολοσειρές θα αποστέλλονται στη γλώσσα που έχει διαμορφωθεί για την εκάστοτε κλινική στο LATITUDE.

## Ορισμοί Συναγερμών και Προειδοποιήσεων

Τα μηνύματα προειδοποίησης και συναγερμού περιλαμβάνονται στο μήνυμα ως σημειώσεις που ενδέχεται να εμφανίζονται ή να μην εμφανίζονται σε ένα EMR. Στο μήνυμα συμπεριλαμβάνεται μια προειδοποίηση ή ένας συναγερμός εάν τα δεδομένα που μεταφορτώθηκαν από την PG οδήγησαν στην εκδήλωση της προειδοποίησης ή του συναγερμού.

### Αναφορές

#### Αναφορά Αναπαράστασης ΗΓΜ

Εάν είναι διαθέσιμη στον όγκο δεδομένων που παραλαμβάνεται από την PG, η Αναφορά Αναπαράστασης ΗΓΜ επισυνάπτεται στο μήνυμα ως αρχείο PDF και συσχετίζεται με το αντίστοιχο επεισόδιο APMRT χρησιμοποιώντας το αναγνωριστικό ομάδας (OBX-4) για το επεισόδιο APMRT.

#### Αναφορά Συνδυασμένης Παρακολούθησης

Στο μήνυμα επισυνάπτεται μια Αναφορά Συνδυασμένης Παρακολούθησης ως αρχείο PDF.

## Παράδειγμα Αρχείου IDCO

Το παρακάτω παράδειγμα αρχείου IDCO δείχνει πώς ενδέχεται να είναι η εμφάνιση ενός μηνύματος IDCO LATITUDE. Αυτό αποτελεί μόνο ένα παράδειγμα εκ των πολλών πιθανών εμφανίσεων. Τα δεδομένα στο παράδειγμα μηνύματος είναι υποθετικά και δεν αναπαριστώνται όλοι οι όροι IDCO του LATITUDE.

```
MSH|^~\&|LATITUDE|BOSTON SCIENTIFIC||TestClinic|201305092136+0000||ORU^R01^ORU_R01
|0|P|2.6|||UNICODE UTF-8|en^English||IHE_PCD_009^IHE_PCD
^1.3.6.1.4.1.19376.1.6.1.9.1^ISO
PID|1||model:N119/serial:900141^^^BSX^U||testLastName^testName^^^^^I
~testAuxLName^testAuxFName^^^^^P||19680215|U
PV1|1|R
PV2|1|||TestDeviceGroup^^1
OBR|1||1000000916|754054^MDC_IDC_ENUM_SESS_TYPE_RemotePatientInitiated
^MDC|||201001151330-0500|||F
NTE|1||Feb 02, 2012 00:00 - Yellow Alert - Atrial Arrhythmia Burden of at least 3.0 hours
in a 24 hour period.
NTE|2||Feb 02, 2012 00:00 - Yellow Alert - Atrial Arrhythmia Burden of at least 3.0 hours
in a 24 hour period between Jan 11, 2010 23:00 and Jan 12, 2010 00:00.
NTE|3||Feb 02, 2012 00:00 - Yellow Alert - Cardiac Resynchronization Therapy pacing of
< 1%. Pacing was 2% between Jan 11, 2010 23:00 and Jan 12, 2010 00:00.
NTE|4||Feb 02, 2012 00:00 - Yellow Alert - Right ventricular pacing of > 1%. Pacing was
2% between Jan 11, 2010 23:00 and Jan 12, 2010 00:00.
NTE|5||Feb 02, 2012 00:00 - Yellow Alert - Patient triggered event stored.
NTE|6||Feb 02, 2012 00:00 - Yellow Alert - Weight gain of at least 5 lb. in a week or at
least 2 lb. average over a two or more day period.
NTE|7||Feb 02, 2012 00:00 - Yellow Alert - Weight loss of at least 5 lb. in a week or at
least 2 lb. average over a two or more day period.
NTE|8||Feb 02, 2012 00:00 - Yellow Alert - Explant indicator reached on Jan 12, 2010
00:00. Schedule replacement of this device.
NTE|9||Feb 02, 2012 00:00 - Yellow Alert - Voltage was too low for projected remaining
capacity.
NTE|10||Feb 02, 2012 00:00 - Red Alert - Remote monitoring disabled on Jan 12, 2010 00:00
due to limited battery capacity (Explant indicator reached on Feb 12, 2010 00:00).
NTE|11||Feb 02, 2012 00:00 - Yellow Alert - Therapy history corruption detected.
Previously stored therapy history data has been deleted.
NTE|12||Feb 02, 2012 00:00 - Red Alert - Possible device malfunction (Fault Code 1011).
NTE|13||Feb 02, 2012 00:00 - Red Alert - Possible device malfunction (Fault Code 1007).
NTE|14||Feb 02, 2012 00:00 - Red Alert - Possible device malfunction (Fault Code 1009).
NTE|15||Feb 02, 2012 00:00 - Red Alert - Device is in Safety Mode. For patient protection
the device has been switched to Safety Mode.
NTE|16||Feb 02, 2012 00:00 - Yellow Alert - Right ventricular automatic threshold
detected as > programmed amplitude or suspended.
NTE|17||Feb 02, 2012 00:00 - Yellow Alert - Atrial automatic threshold detected as >
programmed amplitude or suspended.
NTE|18||Feb 02, 2012 00:00 - Red Alert - Shock lead impedance out of range.
NTE|19||Feb 02, 2012 00:00 - Red Alert - Low shock lead impedance detected when attempting
to deliver a shock.
NTE|20||Feb 02, 2012 00:00 - Red Alert - High shock lead impedance detected when
attempting to deliver a shock.
NTE|21||Feb 02, 2012 00:00 - Red Alert - High voltage detected on shock lead during
charge.
NTE|22||Feb 02, 2012 00:00 - Red Alert - Electrocautery Protection is active.
NTE|23||Feb 02, 2012 00:00 - Yellow Alert - VT Episode occurred (V>A).
NTE|24||Feb 02, 2012 00:00 - Yellow Alert - Device Brady Mode is Off. Brady therapy will
not be delivered.
NTE|25||Feb 02, 2012 00:00 - Yellow Alert - Left ventricular pacing lead impedance out
of range.
NTE|26||Feb 02, 2012 00:00 - Yellow Alert - Atrial pacing lead impedance out of range.
NTE|27||Feb 02, 2012 00:00 - Yellow Alert - Right ventricular intrinsic amplitude out of
range.
NTE|28||Feb 02, 2012 00:00 - Yellow Alert - Intrinsic amplitude out of range.
NTE|29||Feb 02, 2012 00:00 - Yellow Alert - Left ventricular intrinsic amplitude out of
range.
```

NTE|30||Feb 02, 2012 00:00 - Yellow Alert - Atrial intrinsic amplitude out of range.  
 NTE|31||Feb 02, 2012 00:00 - Red Alert - Right ventricular pacing lead impedance out of range.  
 NTE|32||Feb 02, 2012 00:00 - Red Alert - Pacing lead impedance out of range.  
 NTE|33||Feb 02, 2012 00:00 - Yellow Alert - Ventricular shock therapy delivered to convert arrhythmia.  
 NTE|34||Feb 02, 2012 00:00 - Yellow Alert - Accelerated ventricular arrhythmia episode.  
 NTE|35||Feb 02, 2012 00:00 - Red Alert - V-Tachy mode set to value other than Monitor + Therapy.  
 NTE|36||Feb 02, 2012 00:00 - Red Alert - Lead Check notification due to abrupt change in right ventricular pacing lead impedance in the past 7 days.  
 NTE|37||Feb 02, 2012 00:00 - Red Alert - Lead Check notification due to episode with potential right ventricular non-physiologic signal.  
 NTE|38||Feb 02, 2012 00:00 - Yellow Alert - Left ventricular automatic threshold detected as > programmed amplitude or suspended.  
 OBX|1|ST|739536^MDC\_IDC\_EPISODE\_ID^MDC|1|MRI-16|||||F  
 OBX|2|DTM|739552^MDC\_IDC\_EPISODE\_DTM^MDC|1|200101020304|||||F  
 OBX|3|CWE|739568^MDC\_IDC\_EPISODE\_TYPE^MDC|1|754888  
 ^MDC\_IDC\_ENUM\_EPISODE\_TYPE\_Epis\_Other^MDC|||||F  
 OBX|4|CWE|739600^MDC\_IDC\_EPISODE\_VENDOR\_TYPE^MDC|1|||||F  
 OBX|5|NM|739712^MDC\_IDC\_EPISODE\_DURATION^MDC|1|100|s|||||F  
 OBX|6|ST|739680^MDC\_IDC\_EPISODE\_DETECTION\_THERAPY\_DETAILS  
 ^MDC|1|MRI Protection Mode|||||F  
 OBX|7|ST|739536^MDC\_IDC\_EPISODE\_ID^MDC|2|LVAT-15|||||F  
 OBX|8|DTM|739552^MDC\_IDC\_EPISODE\_DTM^MDC|2|200101020304|||||F  
 OBX|9|CWE|739568^MDC\_IDC\_EPISODE\_TYPE^MDC|2|754888  
 ^MDC\_IDC\_ENUM\_EPISODE\_TYPE\_Epis\_Other^MDC|||||F  
 OBX|10|CWE|739600^MDC\_IDC\_EPISODE\_VENDOR\_TYPE^MDC|2|||||F  
 OBX|11|NM|739712^MDC\_IDC\_EPISODE\_DURATION^MDC|2|100|s|||||F  
 OBX|12|ST|739680^MDC\_IDC\_EPISODE\_DETECTION\_THERAPY\_DETAILS^MDC|2|LV Auto|||||F  
 OBX|13|ST|739536^MDC\_IDC\_EPISODE\_ID^MDC|3|RVAT-14|||||F  
 OBX|14|DTM|739552^MDC\_IDC\_EPISODE\_DTM^MDC|3|200101020304|||||F  
 OBX|15|CWE|739568^MDC\_IDC\_EPISODE\_TYPE^MDC|3|754888  
 ^MDC\_IDC\_ENUM\_EPISODE\_TYPE\_Epis\_Other^MDC|||||F  
 OBX|16|CWE|739600^MDC\_IDC\_EPISODE\_VENDOR\_TYPE^MDC|3|||||F  
 OBX|17|NM|739712^MDC\_IDC\_EPISODE\_DURATION^MDC|3|100|s|||||F  
 OBX|18|ST|739680^MDC\_IDC\_EPISODE\_DETECTION\_THERAPY\_DETAILS^MDC|3|RV Auto|||||F  
 OBX|19|ST|739536^MDC\_IDC\_EPISODE\_ID^MDC|4|APM-13|||||F  
 OBX|20|DTM|739552^MDC\_IDC\_EPISODE\_DTM^MDC|4|200101020304|||||F  
 OBX|21|CWE|739568^MDC\_IDC\_EPISODE\_TYPE^MDC|4|754888  
 ^MDC\_IDC\_ENUM\_EPISODE\_TYPE\_Epis\_PeriodicEGM^MDC|||||F  
 OBX|22|CWE|739600^MDC\_IDC\_EPISODE\_VENDOR\_TYPE^MDC|4|771085  
 ^MDC\_IDC\_ENUM\_EPISODE\_VENDOR\_TYPE\_BSX-Epis\_APMRT^MDC|||||F  
 OBX|23|ST|739680^MDC\_IDC\_EPISODE\_DETECTION\_THERAPY\_DETAILS^MDC|4|Presenting EGM|||||F  
 OBX|24|ST|739536^MDC\_IDC\_EPISODE\_ID^MDC|5|PTM-12|||||F  
 OBX|25|DTM|739552^MDC\_IDC\_EPISODE\_DTM^MDC|5|200101020304|||||F  
 OBX|26|CWE|739568^MDC\_IDC\_EPISODE\_TYPE^MDC|5|754888  
 ^MDC\_IDC\_ENUM\_EPISODE\_TYPE\_Epis\_PatientActivated^MDC|||||F  
 OBX|27|CWE|739600^MDC\_IDC\_EPISODE\_VENDOR\_TYPE^MDC|5|771080  
 ^MDC\_IDC\_ENUM\_EPISODE\_VENDOR\_TYPE\_BSX-Epis\_PTM^MDC|||||F  
 OBX|28|NM|739648^MDC\_IDC\_EPISODE\_VENTRICULAR\_INTERVAL\_AT\_DETECTION  
 ^MDC|5|30000|ms|||||F  
 OBX|29|NM|739712^MDC\_IDC\_EPISODE\_DURATION^MDC|5|100|s|||||F  
 OBX|30|ST|739680^MDC\_IDC\_EPISODE\_DETECTION\_THERAPY\_DETAILS^MDC|5|PTM|||||F  
 OBX|31|ST|739536^MDC\_IDC\_EPISODE\_ID^MDC|6|RAAT-11|||||F  
 OBX|32|DTM|739552^MDC\_IDC\_EPISODE\_DTM^MDC|6|200101020304|||||F  
 OBX|33|CWE|739568^MDC\_IDC\_EPISODE\_TYPE^MDC|6|754888  
 ^MDC\_IDC\_ENUM\_EPISODE\_TYPE\_Epis\_Other^MDC|||||F  
 OBX|34|CWE|739600^MDC\_IDC\_EPISODE\_VENDOR\_TYPE^MDC|6|||||F  
 OBX|35|NM|739712^MDC\_IDC\_EPISODE\_DURATION^MDC|6|100|s|||||F  
 OBX|36|ST|739680^MDC\_IDC\_EPISODE\_DETECTION\_THERAPY\_DETAILS^MDC|6|RA Auto|||||F  
 OBX|37|ST|739536^MDC\_IDC\_EPISODE\_ID^MDC|7|RYTHMIQ-10|||||F  
 OBX|38|DTM|739552^MDC\_IDC\_EPISODE\_DTM^MDC|7|200101020304|||||F  
 OBX|39|CWE|739568^MDC\_IDC\_EPISODE\_TYPE^MDC|7|754888  
 ^MDC\_IDC\_ENUM\_EPISODE\_TYPE\_Epis\_Other^MDC|||||F

OBX|40|CWE|739600^MDC\_IDC\_EPISODE\_VENDOR\_TYPE^MDC|7|771084  
 ^MDC\_IDC\_ENUM\_EPISODE\_VENDOR\_TYPE\_BSX-Epis\_RMS^MDC|||||F  
 OBX|41|NM|739648  
 ^MDC\_IDC\_EPISODE\_VENTRICULAR\_INTERVAL\_AT\_DETECTION^MDC|7|30000|ms|||||F  
 OBX|42|NM|739712^MDC\_IDC\_EPISODE\_DURATION^MDC|7|100|s|||||F  
 OBX|43|ST|739680^MDC\_IDC\_EPISODE\_DETECTION\_THERAPY\_DETAILS^MDC|7|RYTHMIQ|||||F  
 OBX|44|ST|739536^MDC\_IDC\_EPISODE\_ID^MDC|8|RMS-9|||||F  
 OBX|45|DTM|739552^MDC\_IDC\_EPISODE\_DTM^MDC|8|200101020304|||||F  
 OBX|46|CWE|739568^MDC\_IDC\_EPISODE\_TYPE  
 ^MDC|8|754888^MDC\_IDC\_ENUM\_EPISODE\_TYPE\_Epis\_Other^MDC|||||F  
 OBX|47|CWE|739600^MDC\_IDC\_EPISODE\_VENDOR\_TYPE^MDC|8|771084  
 ^MDC\_IDC\_ENUM\_EPISODE\_VENDOR\_TYPE\_BSX-Epis\_RMS^MDC|||||F  
 OBX|48|NM|739648  
 ^MDC\_IDC\_EPISODE\_VENTRICULAR\_INTERVAL\_AT\_DETECTION^MDC|8|30000|ms|||||F  
 OBX|49|NM|739712^MDC\_IDC\_EPISODE\_DURATION^MDC|8|100|s|||||F  
 OBX|50|ST|739680^MDC\_IDC\_EPISODE\_DETECTION\_THERAPY\_DETAILS^MDC|8|RMS|||||F  
 OBX|51|ST|739536^MDC\_IDC\_EPISODE\_ID^MDC|9|V-8|||||F  
 OBX|52|DTM|739552^MDC\_IDC\_EPISODE\_DTM^MDC|9|200101020304|||||F  
 OBX|53|CWE|739568^MDC\_IDC\_EPISODE\_TYPE  
 ^MDC|9|754881^MDC\_IDC\_ENUM\_EPISODE\_TYPE\_Epis\_VF^MDC|||||F  
 OBX|54|CWE|739600^MDC\_IDC\_EPISODE\_VENDOR\_TYPE  
 ^MDC|9|771073^MDC\_IDC\_ENUM\_EPISODE\_VENDOR\_TYPE\_BSX-Epis\_VF^MDC|||||F  
 OBX|55|CWE|739584^MDC\_IDC\_EPISODE\_TYPE\_INDUCED^MDC|9|755329  
 ^MDC\_IDC\_ENUM\_EPISODE\_TYPE\_INDUCED\_YES^MDC|||||F  
 OBX|56|NM|739648  
 ^MDC\_IDC\_EPISODE\_VENTRICULAR\_INTERVAL\_AT\_DETECTION^MDC|9|30000|ms|||||F  
 OBX|57|NM|739712^MDC\_IDC\_EPISODE\_DURATION^MDC|9|100|s|||||F  
 OBX|58|ST|739680  
 ^MDC\_IDC\_EPISODE\_DETECTION\_THERAPY\_DETAILS^MDC|9|VF ATPx1, 0.1J, 0.2J, 31Jx2|||||F  
 OBX|59|ST|739536^MDC\_IDC\_EPISODE\_ID^MDC|10|PMT-7|||||F  
 OBX|60|DTM|739552^MDC\_IDC\_EPISODE\_DTM^MDC|10|200101020304|||||F  
 OBX|61|CWE|739568^MDC\_IDC\_EPISODE\_TYPE^MDC|10|754888  
 ^MDC\_IDC\_ENUM\_EPISODE\_TYPE\_Epis\_Other^MDC|||||F  
 OBX|62|CWE|739600^MDC\_IDC\_EPISODE\_VENDOR\_TYPE^MDC|10|771079  
 ^MDC\_IDC\_ENUM\_EPISODE\_VENDOR\_TYPE\_BSX-Epis\_PMT^MDC|||||F  
 OBX|63|NM|739648^MDC\_IDC\_EPISODE\_VENTRICULAR\_INTERVAL\_AT\_DETECTION  
 ^MDC|10|30000|ms|||||F  
 OBX|64|NM|739712^MDC\_IDC\_EPISODE\_DURATION^MDC|10|100|s|||||F  
 OBX|65|ST|739680^MDC\_IDC\_EPISODE\_DETECTION\_THERAPY\_DETAILS^MDC|10|PMT|||||F  
 OBX|66|ST|739536^MDC\_IDC\_EPISODE\_ID^MDC|11|V-6|||||F  
 OBX|67|DTM|739552^MDC\_IDC\_EPISODE\_DTM^MDC|11|200101020304|||||F  
 OBX|68|CWE|739568^MDC\_IDC\_EPISODE\_TYPE^MDC|11|754882  
 ^MDC\_IDC\_ENUM\_EPISODE\_TYPE\_Epis\_VT^MDC|||||F  
 OBX|69|CWE|739600^MDC\_IDC\_EPISODE\_VENDOR\_TYPE^MDC|11|771075  
 ^MDC\_IDC\_ENUM\_EPISODE\_VENDOR\_TYPE\_BSX-Epis\_VT-1^MDC|||||F  
 OBX|70|CWE|739584^MDC\_IDC\_EPISODE\_TYPE\_INDUCED^MDC|11|755329  
 ^MDC\_IDC\_ENUM\_EPISODE\_TYPE\_INDUCED\_YES^MDC|||||F  
 OBX|71|NM|739648^MDC\_IDC\_EPISODE\_VENTRICULAR\_INTERVAL\_AT\_DETECTION  
 ^MDC|11|30000|ms|||||F  
 OBX|72|NM|739712^MDC\_IDC\_EPISODE\_DURATION^MDC|11|100|s|||||F  
 OBX|73|ST|739680^MDC\_IDC\_EPISODE\_DETECTION\_THERAPY\_DETAILS  
 ^MDC|11|VT-1 ATPx1, 0.1J, 0.2J, 31Jx2|||||F  
 OBX|74|ST|739536^MDC\_IDC\_EPISODE\_ID^MDC|12|ATR-5|||||F  
 OBX|75|DTM|739552^MDC\_IDC\_EPISODE\_DTM^MDC|12|200101020304|||||F  
 OBX|76|CWE|739568^MDC\_IDC\_EPISODE\_TYPE^MDC|12|754883  
 ^MDC\_IDC\_ENUM\_EPISODE\_TYPE\_Epis\_ATAF^MDC|||||F  
 OBX|77|CWE|739600^MDC\_IDC\_EPISODE\_VENDOR\_TYPE^MDC|12|771078  
 ^MDC\_IDC\_ENUM\_EPISODE\_VENDOR\_TYPE\_BSX-Epis\_ATR^MDC|||||F  
 OBX|78|NM|739616^MDC\_IDC\_EPISODE\_atrial\_INTERVAL\_AT\_DETECTION^MDC|12|20000|ms|||||F  
 OBX|79|NM|739712^MDC\_IDC\_EPISODE\_DURATION^MDC|12|100|s|||||F  
 OBX|80|ST|739680^MDC\_IDC\_EPISODE\_DETECTION\_THERAPY\_DETAILS^MDC|12|ATR|||||F  
 OBX|81|ST|739536^MDC\_IDC\_EPISODE\_ID^MDC|13|V-4|||||F  
 OBX|82|DTM|739552^MDC\_IDC\_EPISODE\_DTM^MDC|13|200101020304|||||F  
 OBX|83|CWE|739568^MDC\_IDC\_EPISODE\_TYPE^MDC|13|754882  
 ^MDC\_IDC\_ENUM\_EPISODE\_TYPE\_Epis\_VT^MDC|||||F

OBX|84|CWE|739600^MDC\_IDC\_EPISODE\_VENDOR\_TYPE^MDC|13|771077  
 ^MDC\_IDC\_ENUM\_EPISODE\_VENDOR\_TYPE\_Bsx-Epis\_NSVT^MDC|||||F  
 OBX|85|CWE|739584^MDC\_IDC\_EPISODE\_TYPE\_INDUCED^MDC|13|755329  
 ^MDC\_IDC\_ENUM\_EPISODE\_TYPE\_INDUCED\_YES^MDC|||||F  
 OBX|86|NM|739648^MDC\_IDC\_EPISODE\_VENTRICULAR\_INTERVAL\_AT\_DETECTION  
 ^MDC|13|30000|ms|||||F  
 OBX|87|NM|739712^MDC\_IDC\_EPISODE\_DURATION^MDC|13|100|s|||||F  
 OBX|88|ST|739680^MDC\_IDC\_EPISODE\_DETECTION\_THERAPY\_DETAILS^MDC|13|NonSustV|||||F  
 OBX|89|ST|739536^MDC\_IDC\_EPISODE\_ID^MDC|14|V-3|||||F  
 OBX|90|DTM|739552^MDC\_IDC\_EPISODE\_DTM^MDC|14|200101020304|||||F  
 OBX|91|CWE|739568^MDC\_IDC\_EPISODE\_TYPE^MDC|14|754882  
 ^MDC\_IDC\_ENUM\_EPISODE\_TYPE\_Epis\_VT^MDC|||||F  
 OBX|92|CWE|739600^MDC\_IDC\_EPISODE\_VENDOR\_TYPE^MDC|14|771074  
 ^MDC\_IDC\_ENUM\_EPISODE\_VENDOR\_TYPE\_Bsx-Epis\_VT^MDC|||||F  
 OBX|93|CWE|739584^MDC\_IDC\_EPISODE\_TYPE\_INDUCED^MDC|14|755329  
 ^MDC\_IDC\_ENUM\_EPISODE\_TYPE\_INDUCED\_YES^MDC|||||F  
 OBX|94|NM|739648^MDC\_IDC\_EPISODE\_VENTRICULAR\_INTERVAL\_AT\_DETECTION  
 ^MDC|14|30000|ms|||||F  
 OBX|95|NM|739712^MDC\_IDC\_EPISODE\_DURATION^MDC|14|100|s|||||F  
 OBX|96|ST|739680^MDC\_IDC\_EPISODE\_DETECTION\_THERAPY\_DETAILS  
 ^MDC|14|VT ATPx1, 0.1J, 0.2J, 31Jx2|||||F  
 OBX|97|ST|739536^MDC\_IDC\_EPISODE\_ID^MDC|15|SBR-2|||||F  
 OBX|98|DTM|739552^MDC\_IDC\_EPISODE\_DTM^MDC|15|200101020304|||||F  
 OBX|99|CWE|739568^MDC\_IDC\_EPISODE\_TYPE^MDC|15|754888  
 ^MDC\_IDC\_ENUM\_EPISODE\_TYPE\_Epis\_Other^MDC|||||F  
 OBX|100|CWE|739600^MDC\_IDC\_EPISODE\_VENDOR\_TYPE^MDC|15|||||F  
 OBX|101|NM|739616^MDC\_IDC\_EPISODE\_ATRIAL\_INTERVAL\_AT\_DETECTION^MDC|15|20000|ms|||||F  
 OBX|102|NM|739712^MDC\_IDC\_EPISODE\_DURATION^MDC|15|100|s|||||F  
 OBX|103|ST|739680^MDC\_IDC\_EPISODE\_DETECTION\_THERAPY\_DETAILS^MDC|15|SBR|||||F  
 OBX|104|ST|739536^MDC\_IDC\_EPISODE\_ID^MDC|16|V-1|||||F  
 OBX|105|DTM|739552^MDC\_IDC\_EPISODE\_DTM^MDC|16|200101020304|||||F  
 OBX|106|CWE|739568^MDC\_IDC\_EPISODE\_TYPE^MDC|16|754888  
 ^MDC\_IDC\_ENUM\_EPISODE\_TYPE\_Epis\_Other^MDC|||||F  
 OBX|107|CWE|739600^MDC\_IDC\_EPISODE\_VENDOR\_TYPE^MDC|16|||||F  
 OBX|108|CWE|739584^MDC\_IDC\_EPISODE\_TYPE\_INDUCED^MDC|16|755329  
 ^MDC\_IDC\_ENUM\_EPISODE\_TYPE\_INDUCED\_YES^MDC|||||F  
 OBX|109|NM|739648^MDC\_IDC\_EPISODE\_VENTRICULAR\_INTERVAL\_AT\_DETECTION  
 ^MDC|16|30000|ms|||||F  
 OBX|110|NM|739712^MDC\_IDC\_EPISODE\_DURATION^MDC|16|100|s|||||F  
 OBX|111|ST|739680^MDC\_IDC\_EPISODE\_DETECTION\_THERAPY\_DETAILS  
 ^MDC|16|Cmd V Therapy Delivered|||||F  
 OBX|112|ED|18750-0^Cardiac Electrophysiology Report^LN|Application^PDF^  
 ^Base64^{encoded PDF included here}|||||F||201001151330-0500  
 OBX|113|ED|18750-0^Cardiac Electrophysiology Report^LN|4|Application^PDF^  
 ^Base64^{encoded PDF included here}|||||F||201001151330-0500  
 OBX|114|CWE|720897^MDC\_IDC\_DEV\_TYPE^MDC||753665^MDC\_IDC\_ENUM\_DEV\_TYPE\_IPG^MDC|||||F  
 OBX|115|ST|720898^MDC\_IDC\_DEV\_MODEL^MDC||N119|||||F  
 OBX|116|ST|720899^MDC\_IDC\_DEV\_SERIAL^MDC||900141|||||F  
 OBX|117|CWE|720900^MDC\_IDC\_DEV\_MFG^MDC||753732^MDC\_IDC\_ENUM\_MFG\_Bsx^MDC|||||F  
 OBX|118|DTM|720901^MDC\_IDC\_DEV\_IMPLANT\_DT^MDC||20120513|||||F  
 OBX|119|ST|720961^MDC\_IDC\_LEAD\_MODEL^MDC|1|12345|||||F  
 OBX|120|ST|720962^MDC\_IDC\_LEAD\_SERIAL^MDC|1|6789|||||F  
 OBX|121|CWE|720963^MDC\_IDC\_LEAD\_MFG^MDC|1|753731^MDC\_IDC\_ENUM\_MFG\_BIO^MDC|||||F  
 OBX|122|CWE|720965^MDC\_IDC\_LEAD\_POLARITY\_TYPE^MDC|1|753793  
 ^MDC\_IDC\_ENUM\_LEAD\_POLARITY\_TYPE\_UNI^MDC|||||F  
 OBX|123|DTM|720964^MDC\_IDC\_LEAD\_IMPLANT\_DT^MDC|1|201205|||||F  
 OBX|124|CWE|720966^MDC\_IDC\_LEAD\_LOCATION^MDC|1|753858  
 ^MDC\_IDC\_ENUM\_LEAD\_LOCATION\_CHAMBER\_LV^MDC|||||F  
 OBX|125|CWE|720967^MDC\_IDC\_LEAD\_LOCATION\_DETAIL\_1  
 ^MDC|1|753922^MDC\_IDC\_ENUM\_LEAD\_LOCATION\_DETAIL\_Apex^MDC|||||F  
 OBX|126|CWE|720968^MDC\_IDC\_LEAD\_LOCATION\_DETAIL\_2^MDC|1|753925  
 ^MDC\_IDC\_ENUM\_LEAD\_LOCATION\_DETAIL\_VenaCava^MDC|||||F  
 OBX|127|ST|720961^MDC\_IDC\_LEAD\_MODEL^MDC|2|12345|||||F  
 OBX|128|ST|720962^MDC\_IDC\_LEAD\_SERIAL^MDC|2|6789|||||F  
 OBX|129|CWE|720963^MDC\_IDC\_LEAD\_MFG^MDC|2|753731^MDC\_IDC\_ENUM\_MFG\_BIO^MDC|||||F

OBX|130|CWE|720965^MDC\_IDC\_LEAD\_POLARITY\_TYPE^MDC|2|753793  
 ^MDC\_IDC\_ENUM\_LEAD\_POLARITY\_TYPE\_UNI^MDC|||||F  
 OBX|131|DTM|720964^MDC\_IDC\_LEAD\_IMPLANT\_DT^MDC|2|201205|||||F  
 OBX|132|CWE|720966^MDC\_IDC\_LEAD\_LOCATION^MDC|2|753858  
 ^MDC\_IDC\_ENUM\_LEAD\_LOCATION\_CHAMBER\_LV^MDC|||||F  
 OBX|133|CWE|720967^MDC\_IDC\_LEAD\_LOCATION\_DETAIL\_1^MDC|2|753922  
 ^MDC\_IDC\_ENUM\_LEAD\_LOCATION\_DETAIL\_Apex^MDC|||||F  
 OBX|134|CWE|720968^MDC\_IDC\_LEAD\_LOCATION\_DETAIL\_2^MDC|2|753925  
 ^MDC\_IDC\_ENUM\_LEAD\_LOCATION\_DETAIL\_VenaCava^MDC|||||F  
 OBX|135|ST|720961^MDC\_IDC\_LEAD\_MODEL^MDC|3|12345|||||F  
 OBX|136|ST|720962^MDC\_IDC\_LEAD\_SERIAL^MDC|3|6789|||||F  
 OBX|137|CWE|720963^MDC\_IDC\_LEAD\_MFG^MDC|3|753731^MDC\_IDC\_ENUM\_MFG\_BIO^MDC|||||F  
 OBX|138|CWE|720965^MDC\_IDC\_LEAD\_POLARITY\_TYPE^MDC|3|753793  
 ^MDC\_IDC\_ENUM\_LEAD\_POLARITY\_TYPE\_UNI^MDC|||||F  
 OBX|139|DTM|720964^MDC\_IDC\_LEAD\_IMPLANT\_DT^MDC|3|201205|||||F  
 OBX|140|CWE|720966^MDC\_IDC\_LEAD\_LOCATION^MDC|3|753858  
 ^MDC\_IDC\_ENUM\_LEAD\_LOCATION\_CHAMBER\_LV^MDC|||||F  
 OBX|141|CWE|720967^MDC\_IDC\_LEAD\_LOCATION\_DETAIL\_1^MDC|3|753922  
 ^MDC\_IDC\_ENUM\_LEAD\_LOCATION\_DETAIL\_Apex^MDC|||||F  
 OBX|142|CWE|720968^MDC\_IDC\_LEAD\_LOCATION\_DETAIL\_2^MDC|3|753925  
 ^MDC\_IDC\_ENUM\_LEAD\_LOCATION\_DETAIL\_VenaCava^MDC|||||F  
 OBX|143|ST|720961^MDC\_IDC\_LEAD\_MODEL^MDC|4|12345|||||F  
 OBX|144|ST|720962^MDC\_IDC\_LEAD\_SERIAL^MDC|4|6789|||||F  
 OBX|145|CWE|720963^MDC\_IDC\_LEAD\_MFG^MDC|4|753731^MDC\_IDC\_ENUM\_MFG\_BIO^MDC|||||F  
 OBX|146|CWE|720965^MDC\_IDC\_LEAD\_POLARITY\_TYPE^MDC|4|753793  
 ^MDC\_IDC\_ENUM\_LEAD\_POLARITY\_TYPE\_UNI^MDC|||||F  
 OBX|147|DTM|720964^MDC\_IDC\_LEAD\_IMPLANT\_DT^MDC|4|201205|||||F  
 OBX|148|CWE|720966^MDC\_IDC\_LEAD\_LOCATION^MDC|4|753858  
 ^MDC\_IDC\_ENUM\_LEAD\_LOCATION\_CHAMBER\_LV^MDC|||||F  
 OBX|149|CWE|720967^MDC\_IDC\_LEAD\_LOCATION\_DETAIL\_1^MDC|4|753922  
 ^MDC\_IDC\_ENUM\_LEAD\_LOCATION\_DETAIL\_Apex^MDC|||||F  
 OBX|150|CWE|720968^MDC\_IDC\_LEAD\_LOCATION\_DETAIL\_2^MDC|4|753925  
 ^MDC\_IDC\_ENUM\_LEAD\_LOCATION\_DETAIL\_VenaCava^MDC|||||F  
 OBX|151|ST|720961^MDC\_IDC\_LEAD\_MODEL^MDC|5|12345|||||F  
 OBX|152|ST|720962^MDC\_IDC\_LEAD\_SERIAL^MDC|5|6789|||||F  
 OBX|153|CWE|720963^MDC\_IDC\_LEAD\_MFG^MDC|5|753731^MDC\_IDC\_ENUM\_MFG\_BIO^MDC|||||F  
 OBX|154|CWE|720965^MDC\_IDC\_LEAD\_POLARITY\_TYPE^MDC|5|753793  
 ^MDC\_IDC\_ENUM\_LEAD\_POLARITY\_TYPE\_UNI^MDC|||||F  
 OBX|155|DTM|720964^MDC\_IDC\_LEAD\_IMPLANT\_DT^MDC|5|201205|||||F  
 OBX|156|CWE|720966^MDC\_IDC\_LEAD\_LOCATION^MDC|5|753858  
 ^MDC\_IDC\_ENUM\_LEAD\_LOCATION\_CHAMBER\_LV^MDC|||||F  
 OBX|157|CWE|720967^MDC\_IDC\_LEAD\_LOCATION\_DETAIL\_1^MDC|5|753922  
 ^MDC\_IDC\_ENUM\_LEAD\_LOCATION\_DETAIL\_Apex^MDC|||||F  
 OBX|158|CWE|720968^MDC\_IDC\_LEAD\_LOCATION\_DETAIL\_2^MDC|5|753925  
 ^MDC\_IDC\_ENUM\_LEAD\_LOCATION\_DETAIL\_VenaCava^MDC|||||F  
 OBX|159|ST|720961^MDC\_IDC\_LEAD\_MODEL^MDC|6|12345|||||F  
 OBX|160|ST|720962^MDC\_IDC\_LEAD\_SERIAL^MDC|6|6789|||||F  
 OBX|161|CWE|720963^MDC\_IDC\_LEAD\_MFG^MDC|6|753731^MDC\_IDC\_ENUM\_MFG\_BIO^MDC|||||F  
 OBX|162|CWE|720965^MDC\_IDC\_LEAD\_POLARITY\_TYPE^MDC|6|753793  
 ^MDC\_IDC\_ENUM\_LEAD\_POLARITY\_TYPE\_UNI^MDC|||||F  
 OBX|163|DTM|720964^MDC\_IDC\_LEAD\_IMPLANT\_DT^MDC|6|201205|||||F  
 OBX|164|CWE|720966^MDC\_IDC\_LEAD\_LOCATION^MDC|6|753858  
 ^MDC\_IDC\_ENUM\_LEAD\_LOCATION\_CHAMBER\_LV^MDC|||||F  
 OBX|165|CWE|720967^MDC\_IDC\_LEAD\_LOCATION\_DETAIL\_1^MDC|6|753922  
 ^MDC\_IDC\_ENUM\_LEAD\_LOCATION\_DETAIL\_Apex^MDC|||||F  
 OBX|166|CWE|720968^MDC\_IDC\_LEAD\_LOCATION\_DETAIL\_2^MDC|6|753925  
 ^MDC\_IDC\_ENUM\_LEAD\_LOCATION\_DETAIL\_VenaCava^MDC|||||F  
 OBX|167|DTM|721025^MDC\_IDC\_SESS\_DTM^MDC||201001021310-0600|||||F  
 OBX|168|CWE|721026^MDC\_IDC\_SESS\_TYPE^MDC||754052  
 ^MDC\_IDC\_ENUM\_SESS\_TYPE\_RemoteDeviceInitiated^MDC|||||F  
 OBX|169|ST|721033^MDC\_IDC\_SESS\_CLINIC\_NAME  
 ^MDC||abcdefghijklmnopqrstuvwxyabcdefghijklmnopqrstuvw|||F  
 OBX|170|DTM|721216^MDC\_IDC\_MSMT\_BATTERY\_DTM^MDC||201205221755+0000|||||F  
 OBX|171|CWE|721280^MDC\_IDC\_MSMT\_BATTERY\_STATUS^MDC||754113  
 ^MDC\_IDC\_ENUM\_BATTERY\_STATUS\_BOS^MDC|||||F

OBX|172|NM|721472^MDC\_IDC\_MSMT\_BATTERY\_REMAINING\_LONGEVITY^MDC||132|mo||>|||F  
 OBX|173|NM|721536^MDC\_IDC\_MSMT\_BATTERY\_REMAINING\_PERCENTAGE^MDC||100|%|||F  
 OBX|174|DTM|721664^MDC\_IDC\_MSMT\_CAP\_CHARGE\_DTM^MDC||201205221755|||F  
 OBX|175|NM|721728^MDC\_IDC\_MSMT\_CAP\_CHARGE\_TIME^MDC||3.0|s|||F  
 OBX|176|CWE|721856^MDC\_IDC\_MSMT\_CAP\_CHARGE\_TYPE^MDC||754178  
 ^MDC\_IDC\_ENUM\_CHARGE\_TYPE\_Reformation^MDC|||F  
 OBX|177|DTM|721921^MDC\_IDC\_MSMT\_LEADCHNL\_RA\_DTM\_START^MDC||20121211|||F  
 OBX|178|DTM|721922^MDC\_IDC\_MSMT\_LEADCHNL\_RA\_DTM\_END^MDC||20121211|||F  
 OBX|179|CWE|721984^MDC\_IDC\_MSMT\_LEADCHNL\_RA\_LEAD\_CHANNEL\_STATUS^MDC||754241  
 ^MDC\_IDC\_ENUM\_CHANNEL\_STATUS\_CheckLead^MDC|||F  
 OBX|180|NM|722051  
 ^MDC\_IDC\_MSMT\_LEADCHNL\_RA\_SENSING\_INTR\_AMPL\_MEAN^MDC||mV|NAV||F||20121211  
 OBX|181|DTM|721925^MDC\_IDC\_MSMT\_LEADCHNL\_RV\_DTM\_START^MDC||19990102|||F  
 OBX|182|DTM|721926^MDC\_IDC\_MSMT\_LEADCHNL\_RV\_DTM\_END^MDC||20121211|||F  
 OBX|183|CWE|721985^MDC\_IDC\_MSMT\_LEADCHNL\_RV\_LEAD\_CHANNEL\_STATUS^MDC||754241  
 ^MDC\_IDC\_ENUM\_CHANNEL\_STATUS\_CheckLead^MDC|||F  
 OBX|184|NM|722055  
 ^MDC\_IDC\_MSMT\_LEADCHNL\_RV\_SENSING\_INTR\_AMPL\_MEAN^MDC||0.1|mV|<||F||20121211  
 OBX|185|DTM|721933^MDC\_IDC\_MSMT\_LEADCHNL\_LV\_DTM\_START^MDC||19990102|||F  
 OBX|186|DTM|721934^MDC\_IDC\_MSMT\_LEADCHNL\_LV\_DTM\_END^MDC||20121211|||F  
 OBX|187|CWE|721987^MDC\_IDC\_MSMT\_LEADCHNL\_LV\_LEAD\_CHANNEL\_STATUS^MDC||754241  
 ^MDC\_IDC\_ENUM\_CHANNEL\_STATUS\_CheckLead^MDC|||F  
 OBX|188|NM|722063^MDC\_IDC\_MSMT\_LEADCHNL\_LV\_SENSING\_INTR\_AMPL\_MEAN  
 ^MDC||25.0|mV||>||F||20121211  
 OBX|189|CWE|722112^MDC\_IDC\_MSMT\_LEADCHNL\_RA\_SENSING\_POLARITY^MDC||754305  
 ^MDC\_IDC\_ENUM\_POLARITY\_UNI^MDC|||F  
 OBX|190|CWE|722113^MDC\_IDC\_MSMT\_LEADCHNL\_RV\_SENSING\_POLARITY^MDC||754306  
 ^MDC\_IDC\_ENUM\_POLARITY\_BI^MDC|||F  
 OBX|191|CWE|722115^MDC\_IDC\_MSMT\_LEADCHNL\_LV\_SENSING\_POLARITY^MDC|||OFF|||F  
 OBX|192|NM|722176^MDC\_IDC\_MSMT\_LEADCHNL\_RA\_PACING\_THRESHOLD\_AMPLITUDE  
 ^MDC||V|NAV||F||20121211  
 OBX|193|NM|722177^MDC\_IDC\_MSMT\_LEADCHNL\_RV\_PACING\_THRESHOLD\_AMPLITUDE  
 ^MDC||3.0|V||>||F||20121211  
 OBX|194|NM|722179^MDC\_IDC\_MSMT\_LEADCHNL\_LV\_PACING\_THRESHOLD\_AMPLITUDE  
 ^MDC||0.0|V|||F||20121210  
 OBX|195|NM|722240^MDC\_IDC\_MSMT\_LEADCHNL\_RA\_PACING\_THRESHOLD\_PULSEWIDTH  
 ^MDC||ms|NAV||F||19990102  
 OBX|196|NM|722241^MDC\_IDC\_MSMT\_LEADCHNL\_RV\_PACING\_THRESHOLD\_PULSEWIDTH  
 ^MDC||0.4|ms|||F||19990102  
 OBX|197|NM|722243^MDC\_IDC\_MSMT\_LEADCHNL\_LV\_PACING\_THRESHOLD\_PULSEWIDTH  
 ^MDC||0.4|ms|||F||19990102  
 OBX|198|CWE|722304^MDC\_IDC\_MSMT\_LEADCHNL\_RA\_PACING\_THRESHOLD\_MEASUREMENT\_METHOD  
 ^MDC||754369^MDC\_IDC\_ENUM\_MEASUREMENT\_METHOD\_ProgrammerManual^MDC|||F  
 OBX|199|CWE|722305^MDC\_IDC\_MSMT\_LEADCHNL\_RV\_PACING\_THRESHOLD\_MEASUREMENT\_METHOD  
 ^MDC||754369^MDC\_IDC\_ENUM\_MEASUREMENT\_METHOD\_ProgrammerManual^MDC|||F  
 OBX|200|CWE|722307^MDC\_IDC\_MSMT\_LEADCHNL\_LV\_PACING\_THRESHOLD\_MEASUREMENT\_METHOD  
 ^MDC||754369^MDC\_IDC\_ENUM\_MEASUREMENT\_METHOD\_ProgrammerManual^MDC|||F  
 OBX|201|CWE|722368^MDC\_IDC\_MSMT\_LEADCHNL\_RA\_PACING\_THRESHOLD\_POLARITY^MDC||754305  
 ^MDC\_IDC\_ENUM\_POLARITY\_UNI^MDC|||F  
 OBX|202|CWE|722369^MDC\_IDC\_MSMT\_LEADCHNL\_RV\_PACING\_THRESHOLD\_POLARITY^MDC||754306  
 ^MDC\_IDC\_ENUM\_POLARITY\_BI^MDC|||F  
 OBX|203|CWE|722371^MDC\_IDC\_MSMT\_LEADCHNL\_LV\_PACING\_THRESHOLD\_POLARITY^MDC||754306  
 ^MDC\_IDC\_ENUM\_POLARITY\_BI^MDC|||F  
 OBX|204|NM|722432^MDC\_IDC\_MSMT\_LEADCHNL\_RA\_IMPEDANCE\_VALUE  
 ^MDC||200|ohms||<||F||20121211  
 OBX|205|NM|722433^MDC\_IDC\_MSMT\_LEADCHNL\_RV\_IMPEDANCE\_VALUE  
 ^MDC||2000|ohms||>||F||20121211  
 OBX|206|NM|722435^MDC\_IDC\_MSMT\_LEADCHNL\_LV\_IMPEDANCE\_VALUE  
 ^MDC||201|ohms|||F||20121209  
 OBX|207|CWE|722496^MDC\_IDC\_MSMT\_LEADCHNL\_RA\_IMPEDANCE\_POLARITY^MDC||754305  
 ^MDC\_IDC\_ENUM\_POLARITY\_UNI^MDC|||F  
 OBX|208|CWE|722497^MDC\_IDC\_MSMT\_LEADCHNL\_RV\_IMPEDANCE\_POLARITY^MDC||754305  
 ^MDC\_IDC\_ENUM\_POLARITY\_UNI^MDC|||F  
 OBX|209|CWE|722499^MDC\_IDC\_MSMT\_LEADCHNL\_LV\_IMPEDANCE\_POLARITY^MDC||754306  
 ^MDC\_IDC\_ENUM\_POLARITY\_BI^MDC|||F



OBX|210|DTM|722560^MDC\_IDC\_MSMT\_LEADHVCHNL\_DTM\_START^MDC|1|20121109|||||F  
 OBX|211|NM|722624^MDC\_IDC\_MSMT\_LEADHVCHNL\_IMPEDANCE^MDC|1|ohms|NAV||||F  
 OBX|212|CWE|722688^MDC\_IDC\_MSMT\_LEADHVCHNL\_MEASUREMENT\_TYPE  
 ^MDC|1|754433^MDC\_IDC\_ENUM\_HVCHNL\_MEASUREMENT\_TYPE\_LowVoltage^MDC|||||F  
 OBX|213|CWE|722752^MDC\_IDC\_MSMT\_LEADHVCHNL\_STATUS^MDC|1|754241  
 ^MDC\_IDC\_ENUM\_CHANNEL\_STATUS\_CheckLead^MDC|||||F  
 OBX|214|NM|729344^MDC\_IDC\_SET\_CRT\_LVRV\_DELAY^MDC||-100|ms|||||F  
 OBX|215|CWE|729408^MDC\_IDC\_SET\_CRT\_PACED\_CHAMBERS^MDC||755265  
 ^MDC\_IDC\_ENUM\_CRT\_PACED\_CHAMBERS\_RV\_Only^MDC|||||F  
 OBX|216|NM|729536^MDC\_IDC\_SET\_LEADCHNL\_RA\_SENSING\_SENSITIVITY^MDC||0.5|mV|||||F  
 OBX|217|NM|729537^MDC\_IDC\_SET\_LEADCHNL\_RV\_SENSING\_SENSITIVITY^MDC||0.9|mV|||||F  
 OBX|218|NM|729539^MDC\_IDC\_SET\_LEADCHNL\_LV\_SENSING\_SENSITIVITY^MDC||1.0|mV|||||F  
 OBX|219|CWE|729600^MDC\_IDC\_SET\_LEADCHNL\_RA\_SENSING\_POLARITY^MDC||||OFF||||F  
 OBX|220|CWE|729601^MDC\_IDC\_SET\_LEADCHNL\_RV\_SENSING\_POLARITY^MDC||754305  
 ^MDC\_IDC\_ENUM\_POLARITY\_UNI^MDC|||||F  
 OBX|221|CWE|729676^MDC\_IDC\_SET\_LEADCHNL\_LV\_SENSING\_ANODE\_LOCATION^MDC||754498  
 ^MDC\_IDC\_ENUM\_ELECTRODE\_LOCATION\_RV^MDC|||||F  
 OBX|222|CWE|729740^MDC\_IDC\_SET\_LEADCHNL\_LV\_SENSING\_ANODE\_ELECTRODE^MDC||||OFF||||F  
 OBX|223|CWE|729804^MDC\_IDC\_SET\_LEADCHNL\_LV\_SENSING\_CATHODE\_LOCATION^MDC||||OFF||||F  
 OBX|224|CWE|729868^MDC\_IDC\_SET\_LEADCHNL\_LV\_SENSING\_CATHODE\_ELECTRODE  
 ^MDC||754561^MDC\_IDC\_ENUM\_ELECTRODE\_NAME\_Tip^MDC|||||F  
 OBX|225|CWE|729920^MDC\_IDC\_SET\_LEADCHNL\_RA\_SENSING\_ADAPTATION\_MODE^MDC||754625  
 ^MDC\_IDC\_ENUM\_SENSING\_ADAPTATION\_MODE\_AdaptiveSensing^MDC|||||F  
 OBX|226|CWE|729921^MDC\_IDC\_SET\_LEADCHNL\_RV\_SENSING\_ADAPTATION\_MODE^MDC||754625  
 ^MDC\_IDC\_ENUM\_SENSING\_ADAPTATION\_MODE\_AdaptiveSensing^MDC|||||F  
 OBX|227|CWE|729923^MDC\_IDC\_SET\_LEADCHNL\_LV\_SENSING\_ADAPTATION\_MODE^MDC||754626  
 ^MDC\_IDC\_ENUM\_SENSING\_ADAPTATION\_MODE\_FixedSensing^MDC|||||F  
 OBX|228|NM|729984^MDC\_IDC\_SET\_LEADCHNL\_RA\_PACING\_AMPLITUDE^MDC||5.1|V|||||F  
 OBX|229|NM|729985^MDC\_IDC\_SET\_LEADCHNL\_RV\_PACING\_AMPLITUDE^MDC||5.0|V|||||F  
 OBX|230|NM|729987^MDC\_IDC\_SET\_LEADCHNL\_LV\_PACING\_AMPLITUDE^MDC||2.8|V|||||F  
 OBX|231|NM|730048^MDC\_IDC\_SET\_LEADCHNL\_RA\_PACING\_PULSEWIDTH^MDC||100.0|ms|||||F  
 OBX|232|NM|730049^MDC\_IDC\_SET\_LEADCHNL\_RV\_PACING\_PULSEWIDTH^MDC||200.0|ms|||||F  
 OBX|233|NM|730051^MDC\_IDC\_SET\_LEADCHNL\_LV\_PACING\_PULSEWIDTH^MDC||300.0|ms|||||F  
 OBX|234|CWE|730112^MDC\_IDC\_SET\_LEADCHNL\_RA\_PACING\_POLARITY^MDC||754305  
 ^MDC\_IDC\_ENUM\_POLARITY\_UNI^MDC|||||F  
 OBX|235|CWE|730113^MDC\_IDC\_SET\_LEADCHNL\_RV\_PACING\_POLARITY^MDC||754305  
 ^MDC\_IDC\_ENUM\_POLARITY\_UNI^MDC|||||F  
 OBX|236|CWE|730188^MDC\_IDC\_SET\_LEADCHNL\_LV\_PACING\_ANODE\_LOCATION^MDC||754498  
 ^MDC\_IDC\_ENUM\_ELECTRODE\_LOCATION\_RV^MDC|||||F  
 OBX|237|CWE|730252^MDC\_IDC\_SET\_LEADCHNL\_LV\_PACING\_ANODE\_ELECTRODE^MDC||754564  
 ^MDC\_IDC\_ENUM\_ELECTRODE\_NAME\_Ring2^MDC|||||F  
 OBX|238|CWE|730316^MDC\_IDC\_SET\_LEADCHNL\_LV\_PACING\_CATHODE\_LOCATION^MDC||754500  
 ^MDC\_IDC\_ENUM\_ELECTRODE\_LOCATION\_LV^MDC|||||F  
 OBX|239|CWE|730380^MDC\_IDC\_SET\_LEADCHNL\_LV\_PACING\_CATHODE\_ELECTRODE^MDC||754566  
 ^MDC\_IDC\_ENUM\_ELECTRODE\_NAME\_Ring4^MDC|||||F  
 OBX|240|CWE|730432^MDC\_IDC\_SET\_LEADCHNL\_RA\_PACING\_CAPTURE\_MODE^MDC||754690  
 ^MDC\_IDC\_ENUM\_PACING\_CAPTURE\_MODE\_FixedPacing^MDC|||||F  
 OBX|241|CWE|730433^MDC\_IDC\_SET\_LEADCHNL\_RV\_PACING\_CAPTURE\_MODE^MDC||754691  
 ^MDC\_IDC\_ENUM\_PACING\_CAPTURE\_MODE\_MonitorCapture^MDC|||||F  
 OBX|242|CWE|730435^MDC\_IDC\_SET\_LEADCHNL\_LV\_PACING\_CAPTURE\_MODE^MDC||754690  
 ^MDC\_IDC\_ENUM\_PACING\_CAPTURE\_MODE\_FixedPacing^MDC|||||F  
 OBX|243|CWE|730752^MDC\_IDC\_SET\_BRADY\_MODE^MDC||754760^MDC\_IDC\_ENUM\_BRADY\_MODE\_DDD  
 ^MDC|||||F  
 OBX|244|NM|730880^MDC\_IDC\_SET\_BRADY\_LOWRATE^MDC||100|beats/min|||||F  
 OBX|245|ST|731072^MDC\_IDC\_SET\_BRADY\_SENSOR\_TYPE^MDC|Accelerometer + MV|||||F  
 OBX|246|NM|731136^MDC\_IDC\_SET\_BRADY\_MAX\_TRACKING\_RATE^MDC||130|beats/min|||||F  
 OBX|247|NM|731200^MDC\_IDC\_SET\_BRADY\_MAX\_SENSOR\_RATE^MDC||180|beats/min|||||F  
 OBX|248|NM|731265^MDC\_IDC\_SET\_BRADY\_SAV\_DELAY\_HIGH^MDC||102|ms|||||F  
 OBX|249|NM|731266^MDC\_IDC\_SET\_BRADY\_SAV\_DELAY\_LOW^MDC||101|ms|||||F  
 OBX|250|NM|731329^MDC\_IDC\_SET\_BRADY\_PAV\_DELAY\_HIGH^MDC||104|ms|||||F  
 OBX|251|NM|731330^MDC\_IDC\_SET\_BRADY\_PAV\_DELAY\_LOW^MDC||103|ms|||||F  
 OBX|252|CWE|731392^MDC\_IDC\_SET\_BRADY\_AT\_MODE\_SWITCH\_MODE^MDC||754763  
 ^MDC\_IDC\_ENUM\_BRADY\_MODE\_DDIR^MDC|||||F  
 OBX|253|NM|731456^MDC\_IDC\_SET\_BRADY\_AT\_MODE\_SWITCH\_RATE^MDC||130|beats/min|||||F

OBX|254|CWE|731520^MDC\_IDC\_SET\_TACHYTHERAPY\_VSTAT^MDC||754817  
^MDC\_IDC\_ENUM\_THERAPY\_STATUS\_On^MDC|||||F  
OBX|255|CWE|731648^MDC\_IDC\_SET\_ZONE\_TYPE^MDC|1|754945^MDC\_IDC\_ENUM\_ZONE\_TYPE\_Zone\_VF  
^MDC|||||F  
OBX|256|CWE|731712^MDC\_IDC\_SET\_ZONE\_VENDOR\_TYPE^MDC|1|771139  
^MDC\_IDC\_ENUM\_ZONE\_VENDOR\_TYPE\_BSX-Zone\_VF^MDC|||||F  
OBX|257|CWE|731776^MDC\_IDC\_SET\_ZONE\_STATUS^MDC|1|755009  
^MDC\_IDC\_ENUM\_ZONE\_STATUS\_Active^MDC|||||F  
OBX|258|NM|731840^MDC\_IDC\_SET\_ZONE\_DETECTION\_INTERVAL^MDC|1|462|ms|||||F  
OBX|259|CWE|732097^MDC\_IDC\_SET\_ZONE\_TYPE\_ATP\_1^MDC|1|755073  
^MDC\_IDC\_ENUM\_ATP\_TYPE\_Burst^MDC|||||F  
OBX|260|NM|732161^MDC\_IDC\_SET\_ZONE\_NUM\_ATP\_SEQS\_1^MDC|1|1|||||F  
OBX|261|NM|732225^MDC\_IDC\_SET\_ZONE\_SHOCK\_ENERGY\_1^MDC|1|21.1|J|||||F  
OBX|262|NM|732289^MDC\_IDC\_SET\_ZONE\_NUM\_SHOCKS\_1^MDC|1|1|||||F  
OBX|263|NM|732226^MDC\_IDC\_SET\_ZONE\_SHOCK\_ENERGY\_2^MDC|1|31.1|J|||||F  
OBX|264|NM|732290^MDC\_IDC\_SET\_ZONE\_NUM\_SHOCKS\_2^MDC|1|1|||||F  
OBX|265|NM|732227^MDC\_IDC\_SET\_ZONE\_SHOCK\_ENERGY\_3^MDC|1|41.1|J|||||F  
OBX|266|NM|732291^MDC\_IDC\_SET\_ZONE\_NUM\_SHOCKS\_3^MDC|1|6|||||F  
OBX|267|CWE|731648^MDC\_IDC\_SET\_ZONE\_TYPE^MDC|2|754946^MDC\_IDC\_ENUM\_ZONE\_TYPE\_Zone\_VT  
^MDC|||||F  
OBX|268|CWE|731712^MDC\_IDC\_SET\_ZONE\_VENDOR\_TYPE^MDC|2|771137  
^MDC\_IDC\_ENUM\_ZONE\_VENDOR\_TYPE\_BSX-Zone\_VT^MDC|||||F  
OBX|269|CWE|731776^MDC\_IDC\_SET\_ZONE\_STATUS^MDC|2|755009  
^MDC\_IDC\_ENUM\_ZONE\_STATUS\_Active^MDC|||||F  
OBX|270|NM|731840^MDC\_IDC\_SET\_ZONE\_DETECTION\_INTERVAL^MDC|2|463|ms|||||F  
OBX|271|CWE|732097^MDC\_IDC\_SET\_ZONE\_TYPE\_ATP\_1^MDC|2|755073  
^MDC\_IDC\_ENUM\_ATP\_TYPE\_Burst^MDC|||||F  
OBX|272|NM|732161^MDC\_IDC\_SET\_ZONE\_NUM\_ATP\_SEQS\_1^MDC|2|2|||||F  
OBX|273|CWE|732098^MDC\_IDC\_SET\_ZONE\_TYPE\_ATP\_2^MDC|2|755074  
^MDC\_IDC\_ENUM\_ATP\_TYPE\_Ramp^MDC|||||F  
OBX|274|NM|732162^MDC\_IDC\_SET\_ZONE\_NUM\_ATP\_SEQS\_2^MDC|2|3|||||F  
OBX|275|NM|732225^MDC\_IDC\_SET\_ZONE\_SHOCK\_ENERGY\_1^MDC|2|22.2|J|||||F  
OBX|276|NM|732289^MDC\_IDC\_SET\_ZONE\_NUM\_SHOCKS\_1^MDC|2|1|||||F  
OBX|277|NM|732226^MDC\_IDC\_SET\_ZONE\_SHOCK\_ENERGY\_2^MDC|2|32.2|J|||||F  
OBX|278|NM|732290^MDC\_IDC\_SET\_ZONE\_NUM\_SHOCKS\_2^MDC|2|1|||||F  
OBX|279|NM|732227^MDC\_IDC\_SET\_ZONE\_SHOCK\_ENERGY\_3^MDC|2|42.2|J|||||F  
OBX|280|NM|732291^MDC\_IDC\_SET\_ZONE\_NUM\_SHOCKS\_3^MDC|2|3|||||F  
OBX|281|CWE|731648^MDC\_IDC\_SET\_ZONE\_TYPE^MDC|3|754946^MDC\_IDC\_ENUM\_ZONE\_TYPE\_Zone\_VT  
^MDC|||||F  
OBX|282|CWE|731712^MDC\_IDC\_SET\_ZONE\_VENDOR\_TYPE^MDC|3|771138  
^MDC\_IDC\_ENUM\_ZONE\_VENDOR\_TYPE\_BSX-Zone\_VT-1^MDC|||||F  
OBX|283|CWE|731776^MDC\_IDC\_SET\_ZONE\_STATUS^MDC|3|755009  
^MDC\_IDC\_ENUM\_ZONE\_STATUS\_Active^MDC|||||F  
OBX|284|NM|731840^MDC\_IDC\_SET\_ZONE\_DETECTION\_INTERVAL^MDC|3|465|ms|||||F  
OBX|285|CWE|732097^MDC\_IDC\_SET\_ZONE\_TYPE\_ATP\_1^MDC|3|755074  
^MDC\_IDC\_ENUM\_ATP\_TYPE\_Ramp^MDC|||||F  
OBX|286|NM|732161^MDC\_IDC\_SET\_ZONE\_NUM\_ATP\_SEQS\_1^MDC|3|4|||||F  
OBX|287|CWE|732098^MDC\_IDC\_SET\_ZONE\_TYPE\_ATP\_2^MDC|3|755076  
^MDC\_IDC\_ENUM\_ATP\_TYPE\_RampScan^MDC|||||F  
OBX|288|NM|732162^MDC\_IDC\_SET\_ZONE\_NUM\_ATP\_SEQS\_2^MDC|3|5|||||F  
OBX|289|NM|732225^MDC\_IDC\_SET\_ZONE\_SHOCK\_ENERGY\_1^MDC|3|23.2|J|||||F  
OBX|290|NM|732289^MDC\_IDC\_SET\_ZONE\_NUM\_SHOCKS\_1^MDC|3|1|||||F  
OBX|291|NM|732226^MDC\_IDC\_SET\_ZONE\_SHOCK\_ENERGY\_2^MDC|3|33.2|J|||||F  
OBX|292|NM|732290^MDC\_IDC\_SET\_ZONE\_NUM\_SHOCKS\_2^MDC|3|1|||||F  
OBX|293|NM|732227^MDC\_IDC\_SET\_ZONE\_SHOCK\_ENERGY\_3^MDC|3|43.2|J|||||F  
OBX|294|NM|732291^MDC\_IDC\_SET\_ZONE\_NUM\_SHOCKS\_3^MDC|3|2|||||F  
OBX|295|DTM|737489^MDC\_IDC\_STAT\_DTM\_START^MDC||20120522|||||F  
OBX|296|DTM|737490^MDC\_IDC\_STAT\_DTM\_END^MDC||20120522|||||F  
OBX|297|DTM|737505^MDC\_IDC\_STAT\_BRADY\_DTM\_START^MDC||20120522|||||F  
OBX|298|DTM|737506^MDC\_IDC\_STAT\_BRADY\_DTM\_END^MDC||20120522|||||F  
OBX|299|NM|737520^MDC\_IDC\_STAT\_BRADY\_RA\_PERCENT\_PACED^MDC||0|%|||||F  
OBX|300|NM|737536^MDC\_IDC\_STAT\_BRADY\_RV\_PERCENT\_PACED^MDC||0|%|||||F  
OBX|301|DTM|737777^MDC\_IDC\_STAT\_CRT\_DTM\_START^MDC||20120522|||||F  
OBX|302|DTM|737778^MDC\_IDC\_STAT\_CRT\_DTM\_END^MDC||20120522|||||F  
OBX|303|NM|737792^MDC\_IDC\_STAT\_CRT\_LV\_PERCENT\_PACED^MDC||0|%|||||F

OBX|304|CWE|737952^MDC\_IDC\_STAT\_EPISODE\_TYPE^MDC|1|754882  
 ^MDC\_IDC\_ENUM\_EPISODE\_TYPE\_Epis\_VT^MDC|||||F  
 OBX|305|CWE|737984^MDC\_IDC\_STAT\_EPISODE\_VENDOR\_TYPE^MDC|1|771077  
 ^MDC\_IDC\_ENUM\_EPISODE\_VENDOR\_TYPE\_BSX-Epis\_NSVT^MDC|||||F  
 OBX|306|NM|738000^MDC\_IDC\_STAT\_EPISODE\_RECENT\_COUNT^MDC|1|0|||||F  
 OBX|307|DTM|738017^MDC\_IDC\_STAT\_EPISODE\_RECENT\_COUNT\_DTM\_START^MDC|1|20120522|||||F  
 OBX|308|DTM|738018^MDC\_IDC\_STAT\_EPISODE\_RECENT\_COUNT\_DTM\_END^MDC|1|20120522|||||F  
 OBX|309|CWE|737952^MDC\_IDC\_STAT\_EPISODE\_TYPE^MDC|1|754882  
 ^MDC\_IDC\_ENUM\_EPISODE\_TYPE\_Epis\_VT^MDC|||||F  
 OBX|310|CWE|737984^MDC\_IDC\_STAT\_EPISODE\_VENDOR\_TYPE^MDC|1|||||F  
 OBX|311|NM|738000^MDC\_IDC\_STAT\_EPISODE\_RECENT\_COUNT^MDC|1|0|||||F  
 OBX|312|DTM|738017^MDC\_IDC\_STAT\_EPISODE\_RECENT\_COUNT\_DTM\_START^MDC|1|20120522|||||F  
 OBX|313|DTM|738018^MDC\_IDC\_STAT\_EPISODE\_RECENT\_COUNT\_DTM\_END^MDC|1|20120522|||||F  
 OBX|314|CWE|737952^MDC\_IDC\_STAT\_EPISODE\_TYPE^MDC|2|754884  
 ^MDC\_IDC\_ENUM\_EPISODE\_TYPE\_Epis\_SVT^MDC|||||F  
 OBX|315|CWE|737984^MDC\_IDC\_STAT\_EPISODE\_VENDOR\_TYPE^MDC|2|771076  
 MDC\_IDC\_ENUM\_EPISODE\_VENDOR\_TYPE\_BSX-Epis\_SVT^MDC|||||F  
 OBX|316|NM|738000^MDC\_IDC\_STAT\_EPISODE\_RECENT\_COUNT^MDC|2|0|||||F  
 OBX|317|DTM|738017^MDC\_IDC\_STAT\_EPISODE\_RECENT\_COUNT\_DTM\_START^MDC|2|20120522|||||F  
 OBX|318|DTM|738018^MDC\_IDC\_STAT\_EPISODE\_RECENT\_COUNT\_DTM\_END^MDC|2|20120522|||||F  
 OBX|319|CWE|737952^MDC\_IDC\_STAT\_EPISODE\_TYPE^MDC|4|754883  
 ^MDC\_IDC\_ENUM\_EPISODE\_TYPE\_Epis\_ATAF^MDC|||||F  
 OBX|320|CWE|737984^MDC\_IDC\_STAT\_EPISODE\_VENDOR\_TYPE^MDC|4|771078  
 ^MDC\_IDC\_ENUM\_EPISODE\_VENDOR\_TYPE\_BSX-Epis\_ATR^MDC|||||F  
 OBX|321|NM|738000^MDC\_IDC\_STAT\_EPISODE\_RECENT\_COUNT^MDC|4|0|||||F  
 OBX|322|DTM|738017^MDC\_IDC\_STAT\_EPISODE\_RECENT\_COUNT\_DTM\_START^MDC|4|20120522|||||F  
 OBX|323|DTM|738018^MDC\_IDC\_STAT\_EPISODE\_RECENT\_COUNT\_DTM\_END^MDC|4|20120522|||||F  
 OBX|324|CWE|737952^MDC\_IDC\_STAT\_EPISODE\_TYPE^MDC|5|754888  
 ^MDC\_IDC\_ENUM\_EPISODE\_TYPE\_Epis\_Other^MDC|||||F  
 OBX|325|CWE|737984^MDC\_IDC\_STAT\_EPISODE\_VENDOR\_TYPE^MDC|5|0|||||F  
 OBX|326|NM|738000^MDC\_IDC\_STAT\_EPISODE\_RECENT\_COUNT^MDC|5|0|||||F  
 OBX|327|DTM|738017^MDC\_IDC\_STAT\_EPISODE\_RECENT\_COUNT\_DTM\_START^MDC|5|20120522|||||F  
 OBX|328|DTM|738018^MDC\_IDC\_STAT\_EPISODE\_RECENT\_COUNT\_DTM\_END^MDC|5|20120522|||||F  
 OBX|329|CWE|737952^MDC\_IDC\_STAT\_EPISODE\_TYPE^MDC|6|754881  
 ^MDC\_IDC\_ENUM\_EPISODE\_TYPE\_Epis\_VF^MDC|||||F  
 OBX|330|CWE|737984^MDC\_IDC\_STAT\_EPISODE\_VENDOR\_TYPE^MDC|6|771073  
 ^MDC\_IDC\_ENUM\_EPISODE\_VENDOR\_TYPE\_BSX-Epis\_VF^MDC|||||F  
 OBX|331|NM|738000^MDC\_IDC\_STAT\_EPISODE\_RECENT\_COUNT^MDC|6|1|||||F  
 OBX|332|DTM|738017^MDC\_IDC\_STAT\_EPISODE\_RECENT\_COUNT\_DTM\_START^MDC|6|20120522|||||F  
 OBX|333|DTM|738018^MDC\_IDC\_STAT\_EPISODE\_RECENT\_COUNT\_DTM\_END^MDC|6|20120522|||||F  
 OBX|334|CWE|737952^MDC\_IDC\_STAT\_EPISODE\_TYPE^MDC|7|754882  
 ^MDC\_IDC\_ENUM\_EPISODE\_TYPE\_Epis\_VT^MDC|||||F  
 OBX|335|CWE|737984^MDC\_IDC\_STAT\_EPISODE\_VENDOR\_TYPE^MDC|7|771074  
 ^MDC\_IDC\_ENUM\_EPISODE\_VENDOR\_TYPE\_BSX-Epis\_VT^MDC|||||F  
 OBX|336|NM|738000^MDC\_IDC\_STAT\_EPISODE\_RECENT\_COUNT^MDC|7|2|||||F  
 OBX|337|DTM|738017^MDC\_IDC\_STAT\_EPISODE\_RECENT\_COUNT\_DTM\_START^MDC|7|20120522|||||F  
 OBX|338|DTM|738018^MDC\_IDC\_STAT\_EPISODE\_RECENT\_COUNT\_DTM\_END^MDC|7|20120522|||||F  
 OBX|339|CWE|737952^MDC\_IDC\_STAT\_EPISODE\_TYPE^MDC|8|754882  
 ^MDC\_IDC\_ENUM\_EPISODE\_TYPE\_Epis\_VT^MDC|||||F  
 OBX|340|CWE|737984^MDC\_IDC\_STAT\_EPISODE\_VENDOR\_TYPE^MDC|8|771075  
 ^MDC\_IDC\_ENUM\_EPISODE\_VENDOR\_TYPE\_BSX-Epis\_VT-1^MDC|||||F  
 OBX|341|NM|738000^MDC\_IDC\_STAT\_EPISODE\_RECENT\_COUNT^MDC|8|3|||||F  
 OBX|342|DTM|738017^MDC\_IDC\_STAT\_EPISODE\_RECENT\_COUNT\_DTM\_START^MDC|8|20120522|||||F  
 OBX|343|DTM|738018^MDC\_IDC\_STAT\_EPISODE\_RECENT\_COUNT\_DTM\_END^MDC|8|20120522|||||F  
 OBX|344|CWE|737952^MDC\_IDC\_STAT\_EPISODE\_TYPE^MDC|9|754884  
 ^MDC\_IDC\_ENUM\_EPISODE\_TYPE\_Epis\_Monitor^MDC|||||F  
 OBX|345|CWE|737984^MDC\_IDC\_STAT\_EPISODE\_VENDOR\_TYPE^MDC|9|||||F  
 OBX|346|NM|738000^MDC\_IDC\_STAT\_EPISODE\_RECENT\_COUNT^MDC|9|4|||||F  
 OBX|347|DTM|738017^MDC\_IDC\_STAT\_EPISODE\_RECENT\_COUNT\_DTM\_START^MDC|9|20120522|||||F  
 OBX|348|DTM|738018^MDC\_IDC\_STAT\_EPISODE\_RECENT\_COUNT\_DTM\_END^MDC|9|20120522|||||F

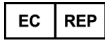
Outdated version. Do not use.  
Version überholt. Nicht verwenden.  
Version obsolète. Ne pas utiliser.  
Versión obsoleta. No utilizar.  
Versione obsoleta. Non utilizzare.  
Verouderde versie. Niet gebruiken.  
Föråldrad version. Använd ej.  
Παλιά έκδοση. Μην την χρησιμοποιείτε.  
Versão obsoleta. Não utilize.  
Forældet version. Må ikke anvendes.  
Zastaralá verze. Nepoužívat.  
Utdatert versjon. Skal ikke brukes.  
Zastaraná verzia. Nepoužívať.  
Elavult verzió. Ne használja!  
Wersja nieaktualna. Nie używać.

Outdated version. Do not use.  
Version überholt. Nicht verwenden.  
Version obsolète. Ne pas utiliser.  
Versión obsoleta. No utilizar.  
Versione obsoleta. Non utilizzare.  
Verouderde versie. Niet gebruiken.  
Föråldrad version. Använd ej.  
Παλιά έκδοση. Μην την χρησιμοποιείτε.  
Versão obsoleta. Não utilize.  
Forældet version. Må ikke anvendes.  
Zastaralá verze. Nepoužívat.  
Utdatert versjon. Skal ikke brukes.  
Zastaraná verzia. Nepoužívať.  
Elavult verzió. Ne használja!  
Wersja nieaktualna. Nie używać.

# Boston Scientific



Boston Scientific  
4100 Hamline Avenue North  
St. Paul, MN 55112-5798 USA



Guidant Europe NV/SA; Boston Scientific  
Green Square, Lambroekstraat 5D  
1831 Diegem, Belgium

1.800.CARDIAC (227.3422)  
+1.651.582.4000

[www.bostonscientific.com](http://www.bostonscientific.com)

© 2014 Boston Scientific Corporation or its affiliates.  
All rights reserved.

359273-020 EL Europe 2014-05

C E0086

